
Generative Models: Fundamentals and Applications

Lecture 5: Energy-based models



2025/10/27

Shuigeng Zhou, Yuxi Mi
College of CSAI

October 20, 2025



Paper Presentation

- 介绍一篇论文，可以是
 - 发表于知名会议/期刊、关于生成模型的论文（推荐会议/期刊列表见第 0 讲 PPT）
 - 自己的工作
- 占 30% 总分
- 共 52 位同学选课，分为四批作报告
 - 于第 14、15、16 周课上报告
 - 或提交录制视频（优先适用于非全日制同学）
- 扫码，登记姓名、报告论文信息
 - 先到先得
- 每人报告 10 分钟，讨论 2 分钟
 - 建议参阅顶会论文报告视频，了解如何在较短时间内介绍工作





Course Project

■ 复现一个生成模型项目；如有余力，略作扩展

■ 一些项目参考

□ 可基于开源实现，例如：

- Stable Diffusion (v1) <https://github.com/CompVis/stable-diffusion>
- 人像动画 <https://github.com/KwaiVGI/LivePortrait>
- 人脸生成 <https://github.com/Tencent/TFace/tree/master/generation/uiface>

□ 可调用封装好的模块，例如：

- Flux.1 <https://huggingface.co/black-forest-labs/FLUX.1-dev>
- DeepSeek OCR <https://huggingface.co/deepseek-ai/DeepSeek-OCR>

□ 「我没有足够算力」：

- 统计机器学习 <https://github.com/fengdu78/lihang-code>

□ 不可直接通过网页 Demo 或图形化界面生成内容



Course Project

■ 占 10% 总分

■ Project 验收

□ 提交 (参考形式) :

- 可执行代码
- 模型输出样例
- 一个 README 文档 (preferably markdown)

简洁介绍1. Project做了什么 2. 如何配置和运行环境 3. 期望输出

□ 提交方式:

- 推荐: 上传至 GitHub 仓库, 提交链接
- 或, 提交一个 姓名_学号_项目名 的压缩包

□ DDL: 2026年1月3日

```
project_name/
├── README.md                                # 项目说明(见下)
├── src/
│   ├── train.py
│   ├── model.py
│   └── sample.py
└── results/                                    # 输出样本
    ├── generated_001.png
    ├── interpolation.gif
    └── metrics.json
└── requirements.txt                            # 环境依赖
```



Course Report

- 占 40% 总分
- 选题：
 - 对生成模型某一细分领域或应用的综述，例如：
 - 人脸识别训练数据生成综述
 - Portrait Animation技术综述
 - 跨模态三维生成与重建技术综述
 - 对话系统与人格建模方法综述
 - 或，基于 Project 写一篇研究性论文
 - 推荐——如果你实现了一个较为复杂的 Project，或作了自己的扩展
 - 研究性论文——不应当是 README 文档的简单扩写
 - 或，阐述自己开展的生成模型研究
 - 中英文、篇幅不限；推荐使用LaTeX
 - DDL：2026年1月3日



目录

- 马尔可夫链蒙特卡罗法 (MCMC)
- 能量模型
- 受限玻尔兹曼机 (RBM)
- 深度信念网络 (DBN)
- 深度玻尔兹曼机 (DBM)

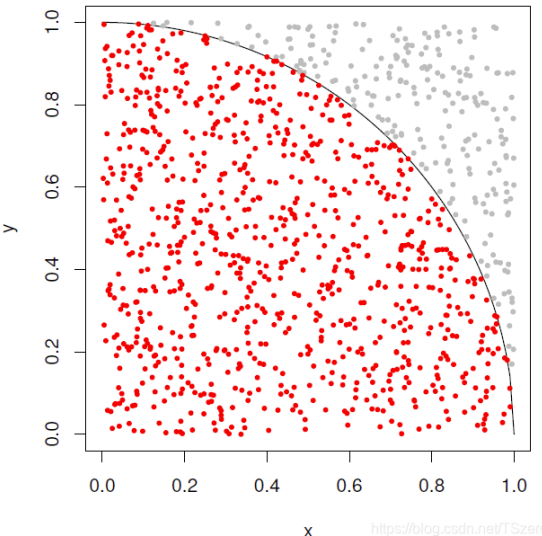


回顾：蒙特卡罗法 (Monte Carlo)

- 思想：用独立同分布随机采样近似积分或期望

$$\mathbb{E}_{p(x)}[f(x)] = \int f(x)p(x)dx \approx \frac{1}{N} \sum_{i=1}^N f(x_i) \quad x_i \sim p(x)$$

- 例如：蒲丰投针
- 前提：能从 $p(x)$ 随机采样
 - 很多时候无法直接生成样本，例如：
 - 贝叶斯推断 $p(x) = \int p(x|\theta)p(\theta)d\theta$
 - 玻尔兹曼机 $p(x) = \frac{1}{Z} e^{-E(x)}$





马尔可夫链蒙特卡罗法

- 马尔可夫链蒙特卡罗法 (Markov Chain Monte Carlo, MCMC)
 - 以马尔可夫链为概率模型的随机抽样近似计算方法
 - 设：
 - 多元随机变量 $x \in \mathcal{X}$, 其概率密度函数为 $p(x)$
 - $f(x)$ 为定义在 $x \in \mathcal{X}$ 上的函数
 - 目标：
 - 获得概率分布 $p(x)$ 的样本集合
 - 求 $f(x)$ 的数学期望 $\mathbb{E}_{p(x)}f(x)$
 - 适用于多元随机变量、非标准形式密度函数、随机变量各分量不独立等概率密度函数 $p(x)$ 复杂的情况

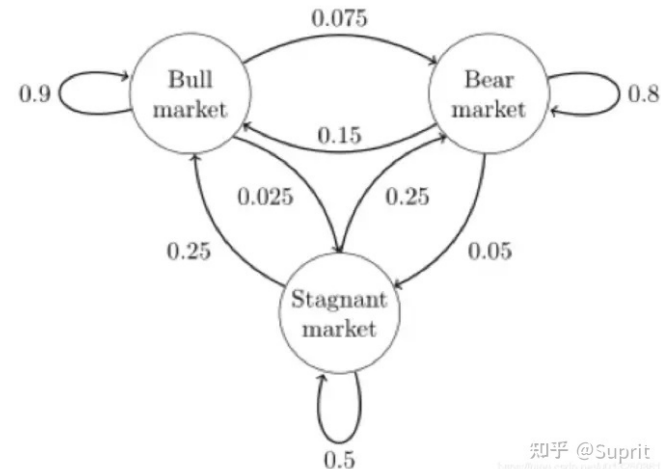
马尔可夫链蒙特卡罗法



■ 基本思想

- 在随机变量 χ 的状态空间 S 上定义一个满足**遍历定理**的马尔可夫链 $x_1, x_2, \dots, x_t, \dots$
 - 在该马尔可夫链上**随机游走**，每个时刻得到一个样本
 - 根据遍历定理，当时间趋于无穷时，样本的分布趋近平稳分布，样本的函数均值趋近函数的数学期望

$$E_{p(x)} [f(x)] \approx \frac{1}{n} \sum_{i=1}^n f(x_i)$$





马尔可夫链蒙特卡罗法

■ 基本思想

- 当链的运行时间足够长（大于充分大整数 m ）时

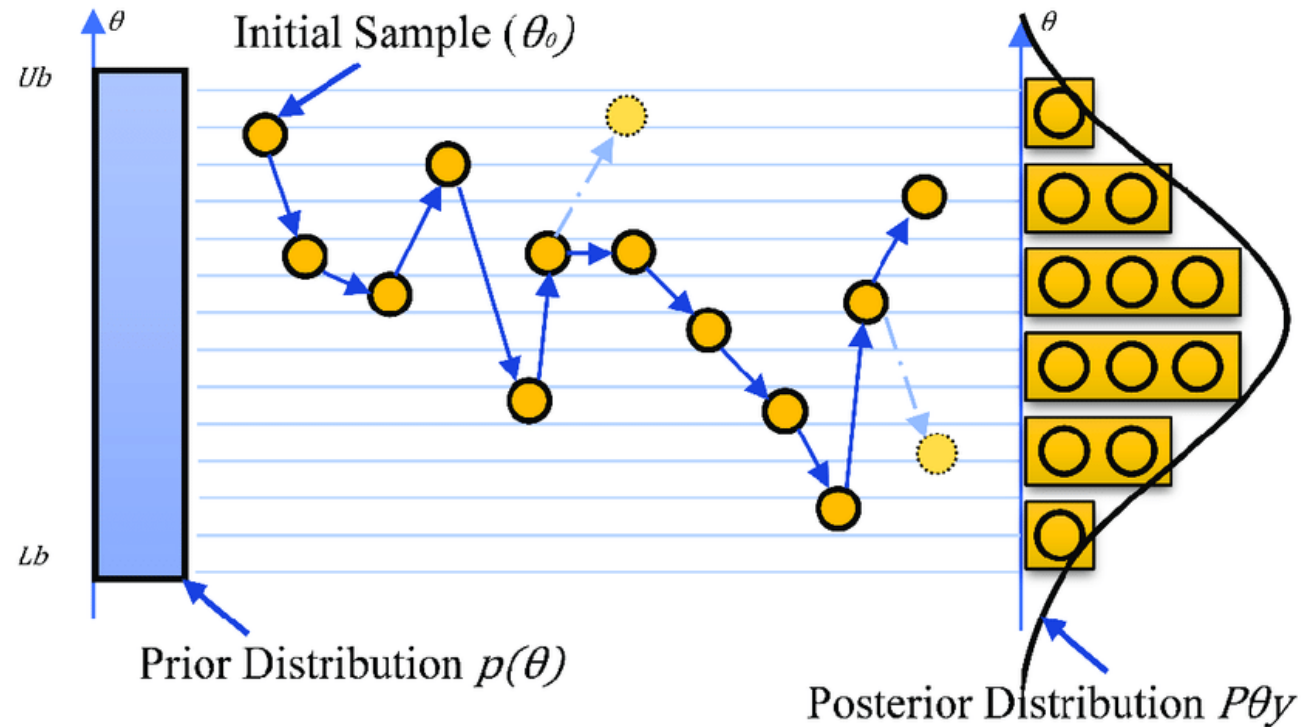
$$x_{m+1}, x_{m+2}, \dots, x_n \sim p(x)$$

$$\hat{E}f = \frac{1}{n-m} \sum_{i=m+1}^n f(x_i)$$

- 到时刻 m 为止的时间段称为 **燃烧期**
- 随机游走的起始点并不影响得到的结果：
 - 从不同的起始点出发，都会收敛到同一平稳分布

马尔可夫链蒙特卡罗法

■ 可视化例子





马尔可夫链蒙特卡罗法

■ 构造马尔可夫链

□ 定义状态转移概率

- 如果 x 是连续变量：转移核函数
- 如果 x 是离散变量：转移矩阵

□ 目标：使马尔可夫链的平稳分布为目标分布 $p(x)$

- 最基本的MCMC：Metropolis-Hastings (MH) 算法
- 更简单、使用更广泛的MCMC：Gibbs 抽样



Metropolis-Hastings 算法

- 基本思想：逐步探索目标分布
 - 在时刻 $t - 1$ ，假设处于状态 x
 - 用建议分布 (proposal distribution) $q(x, x') \triangleq q(x'|x)$ 抽样一个候选状态 x'
 - 用接受概率 (acceptance probability) $\alpha(x, x')$ 评估候选状态 x'
 - 若候选状态 x'
 - 比当前状态更接近目标分布：在时刻 t 转移到 x'
 - 否则：在时刻 t 停留在原状态 x



Metropolis-Hastings 算法

■ 转移核函数 $p(x, x')$

$$p(x, x') = q(x, x')\alpha(x, x')$$

□ 建议分布 $q(x, x')$

- 对称分布：如多元正态分布 $\mathcal{N}(x' | x, \Sigma)$
- 独立抽样：假设 $q(x, x')$ 与当前状态 x 无关： $q(x, x') = q(x')$

□ 接受概率 $\alpha(x, x')$

$$\alpha(x, x') = \min \left\{ 1, \frac{p(x')q(x', x)}{p(x)q(x, x')} \right\}$$

- ### □ 满足细致平衡条件： $p(x)p(x, x') = p(x')p(x', x)$



Metropolis-Hastings 算法

算法 19.2 (Metropolis-Hastings 算法)

输入: 抽样的目标分布的密度函数 $p(x)$, 函数 $f(x)$;

输出: $p(x)$ 的随机样本 $x_{m+1}, x_{m+2}, \dots, x_n$, 函数样本均值 f_{mn} ;

参数: 收敛步数 m , 迭代步数 n 。

(1) 任意选择一个初始值 x_0

(2) 对 $i = 1, 2, \dots, n$ 循环执行

(a) 设状态 $x_{i-1} = x$, 按照建议分布 $q(x, x')$ 随机抽取一个候选状态 x' 。

(b) 计算接受概率

$$\alpha(x, x') = \min \left\{ 1, \frac{p(x')q(x, x)}{p(x)q(x', x)} \right\}$$

(c) 从区间(0,1)中按照均匀分布随机抽取一个数 u 。

若 $u < \alpha(x, x')$, 则状态 $x_i = x'$; 否则, 状态 $x_i = x$ 。

(3) 得到样本集合 $\{x_{m+1}, x_{m+2}, \dots, x_n\}$

计算

$$f_{mn} = \frac{1}{n-m} \sum_{i=m+1}^n f(x_i)$$



Gibbs抽样

- MH算法的难点：选择合理的建议分布 $q(x, x')$
- Gibbs抽样：MH算法的「控制变量」版本
 - 可行性假设：能写出联合分布 $p(x_1, \dots, x_d)$ 的条件分布 $p(x_i|x_{-i})$
 - 一次只更新一个维度

$$q(\mathbf{x}'|\mathbf{x}) = p(x'_i|\mathbf{x}_{-i})\mathbb{I}(\mathbf{x}'_{-i} = \mathbf{x}_{-i})$$

- 该更新采样自真实条件概率：Gibbs抽样接受每次抽样结果



Gibbs抽样

算法 19.3 (吉布斯抽样)

输入: 目标概率分布的密度函数 $p(x)$, 函数 $f(x)$;

输出: $p(x)$ 的随机样本 $x_{m+1}, x_{m+2}, \dots, x_n$, 函数样本均值 f_{mn} ;

参数: 收敛步数 m , 迭代步数 n 。

(1) 初始化。给出初始样本 $x^{(0)} = (x_1^{(0)}, x_2^{(0)}, \dots, x_k^{(0)})^T$ 。

(2) 对 i 循环执行

设第 $(i-1)$ 次迭代结束时的样本为 $x^{(i-1)} = (x_1^{(i-1)}, x_2^{(i-1)}, \dots, x_k^{(i-1)})^T$, 则第 i 次迭代进行如下几步操作:

- $\left\{ \begin{array}{l} (1) \text{ 由满条件分布 } p(x_1|x_2^{(i-1)}, \dots, x_k^{(i-1)}) \text{ 抽取 } x_1^{(i)} \\ \vdots \\ (j) \text{ 由满条件分布 } p(x_j|x_1^{(i)}, \dots, x_{j-1}^{(i)}, x_{j+1}^{(i-1)}, \dots, x_k^{(i-1)}) \text{ 抽取 } x_j^{(i)} \\ \vdots \\ (k) \text{ 由满条件分布 } p(x_k|x_1^{(i)}, \dots, x_{k-1}^{(i)}) \text{ 抽取 } x_k^{(i)} \end{array} \right.$

得到第 i 次迭代值 $x^{(i)} = (x_1^{(i)}, x_2^{(i)}, \dots, x_k^{(i)})^T$ 。

(3) 得到样本集合

$$\{x^{(m+1)}, x^{(m+2)}, \dots, x^{(n)}\}$$

(4) 计算

$$f_{mn} = \frac{1}{n-m} \sum_{i=m+1}^n f(x^{(i)})$$

目录



- 马尔可夫链蒙特卡罗法 (MCMC)
- 能量模型
- 受限玻尔兹曼机 (RBM)
- 深度信念网络 (DBN)
- 深度玻尔兹曼机 (DBM)

能量模型



「地形」：能量模型

「方向」：MCMC

Credit: Dall-E 3



能量函数

- 最早来源于热力学：系统倾向于能量最低的稳定状态
- 在机器学习中：
 - 用能量函数 $E(x)$ 来衡量样本状态的好坏：
 - 能量低 → 样本更可能出现
 - 能量高 → 样本较少出现
 - 通过能量，定义分布：

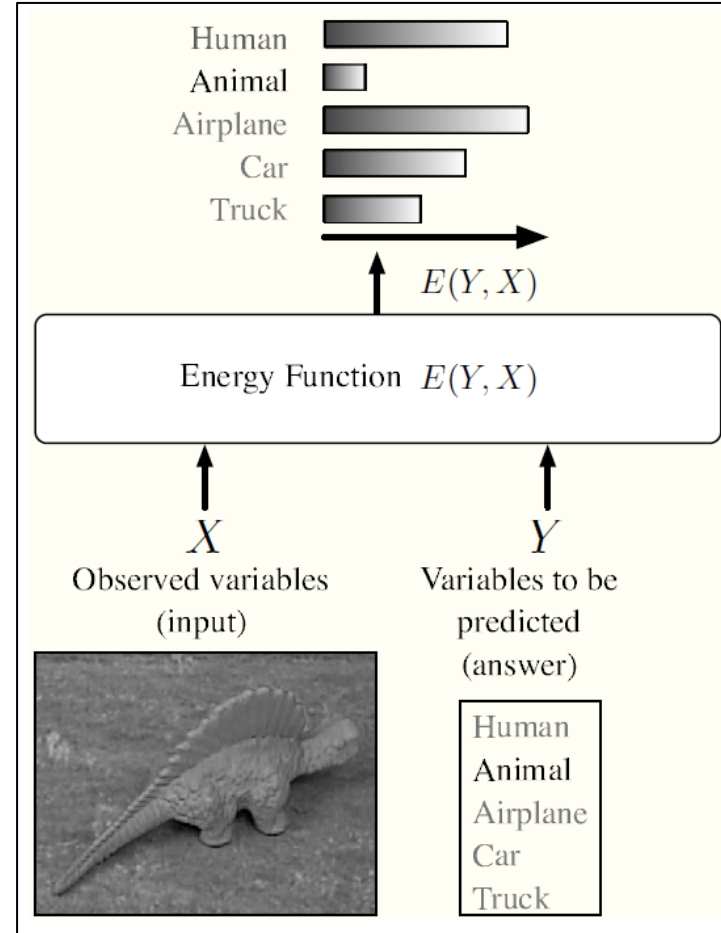
$$p(x) = \frac{1}{Z} e^{-E(x)}$$

- 系统的「地形」由能量决定，能量谷底对应最稳定、最可能的状态

能量函数

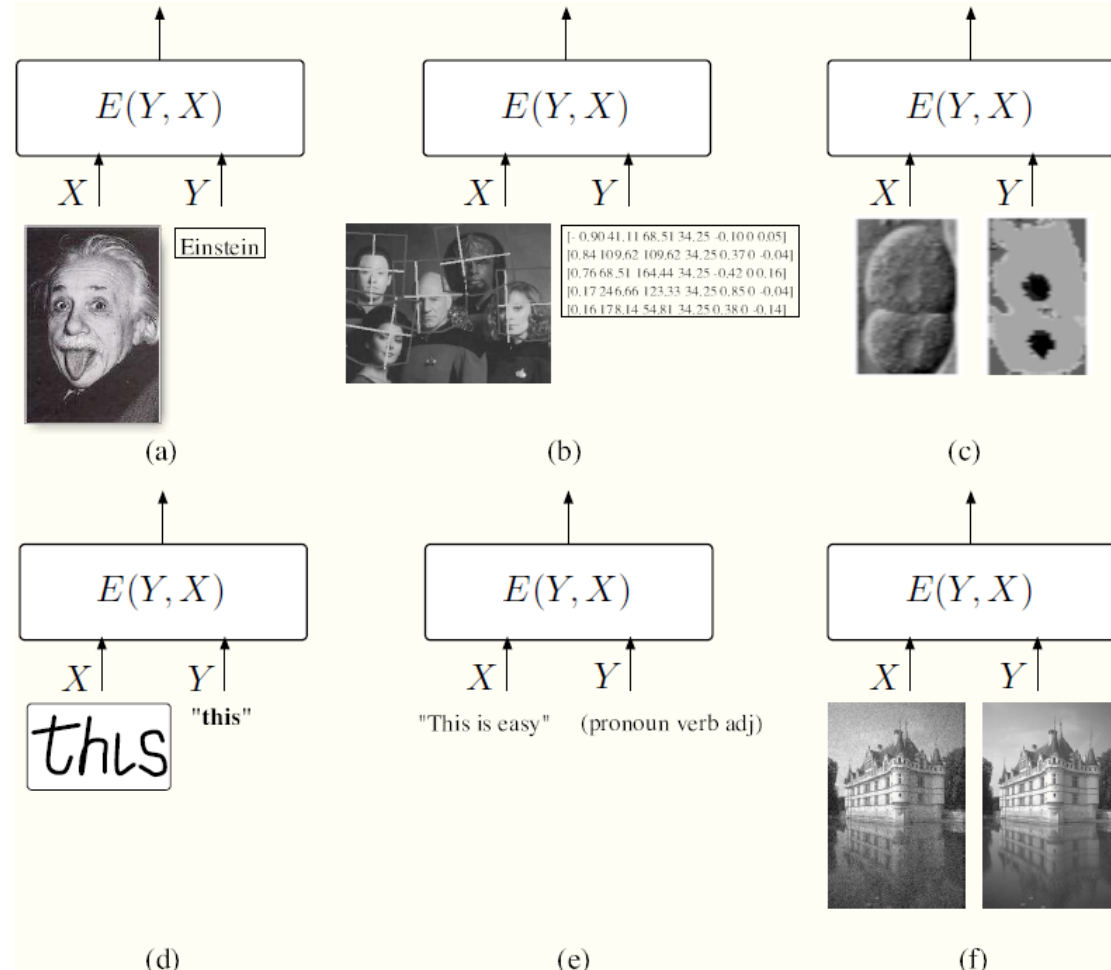
- 能量函数 (Energy Function) :
- 评价输入 X 与输出 Y 的匹配程度
 - 能量越低 → 组合更合理、概率更高
- 模型的目标：寻找能量最小的状态

$$Y^* = \operatorname{argmin}_{Y \in \mathcal{Y}} E(Y, X)$$



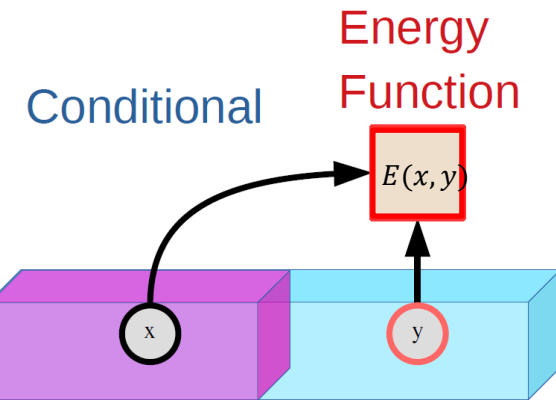
能量函数：实例

- 人脸识别
- 人脸探测
- 图像分割
- 手写字符识别
- 序列标注
- 图像修复

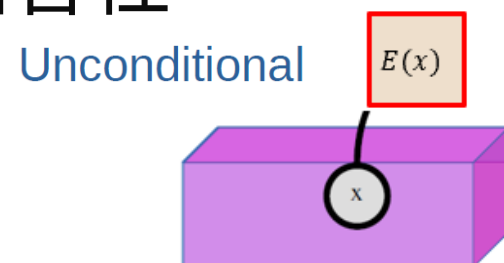


能量函数

- 能量函数 $E(x, y)$: 度量 x 和 y 间的相容性
 - 低能量: y 是好的预测结果, $p(y|x)$ 高



- 无条件能量函数 $E(x)$: 度量 x 各分量间的相容性
 - 低能量: $p(x)$ 高
 - 例如: x 更像真实数据



概率分布

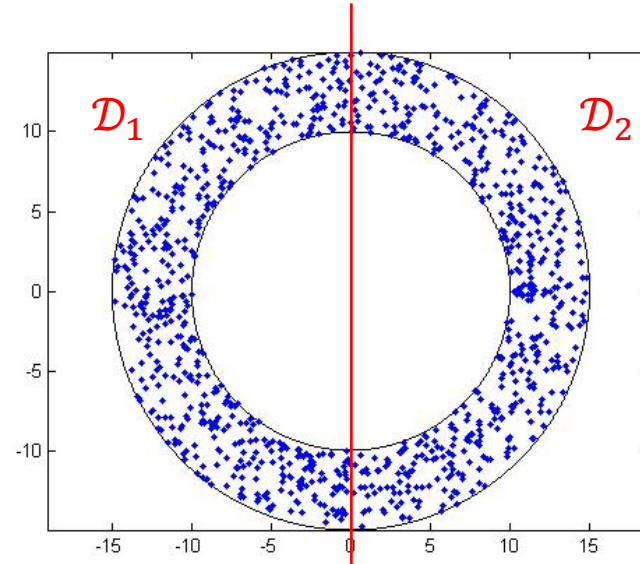
■ 性质

- 非负性: $p(x) \geq 0$
- 归一性: $\sum_x p(x) = 1$ 或 $\int_x p(x)dx = 1$

■ 概率空间的总容量固定

- 例子: 均匀分布, 求 $p(\mathcal{D}_1)$?

$$p(\mathcal{D}_1) = \frac{\text{Volume}(\mathcal{D}_1)}{\text{Volume}(\mathcal{D}_1 + \mathcal{D}_2)}$$





概率分布

■ 构造概率分布：

- 定义任意非负函数 $g_\theta(x)$, 概率分布 $p_\theta(x)$ 为其归一化

$$p_\theta(\mathbf{x}) = \frac{1}{\text{Volume}(g_\theta)} g_\theta(\mathbf{x}) = \frac{1}{\int g_\theta(\mathbf{x}) d\mathbf{x}} g_\theta(\mathbf{x})$$

- 例如：

- 定义

$$g_{(\mu, \sigma)}(x) = e^{-\frac{(x-\mu)^2}{2\sigma^2}}$$

- Volume为

$$\int e^{-\frac{x-\mu}{2\sigma^2}} dx = \sqrt{2\pi\sigma^2}$$

- $p_\theta(x) = \int \frac{1}{\sqrt{2\pi\sigma^2}} e^{-\frac{(x-\mu)^2}{2\sigma^2}}$, 即高斯分布

概率分布 vs. 能量函数

■ Gibbs分布

$$p(x) = \frac{1}{Z} \exp\left(-\frac{E(x)}{T}\right)$$

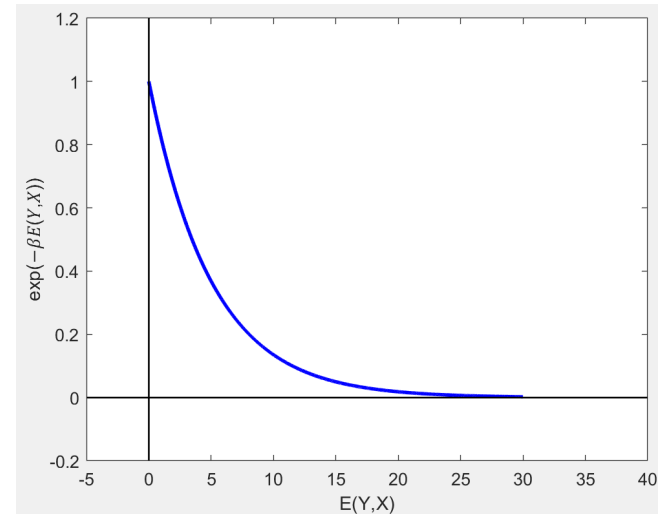
□ 定义温度 T ；配分函数 Z ：

$$Z = \int \exp\left(-\frac{E(x)}{T}\right) dx$$

■ 概率分布是能量函数的特殊形式

□ 能量函数相当于未归一化的负对数概率

$$E(x) = -\log p(x) - \log Z$$



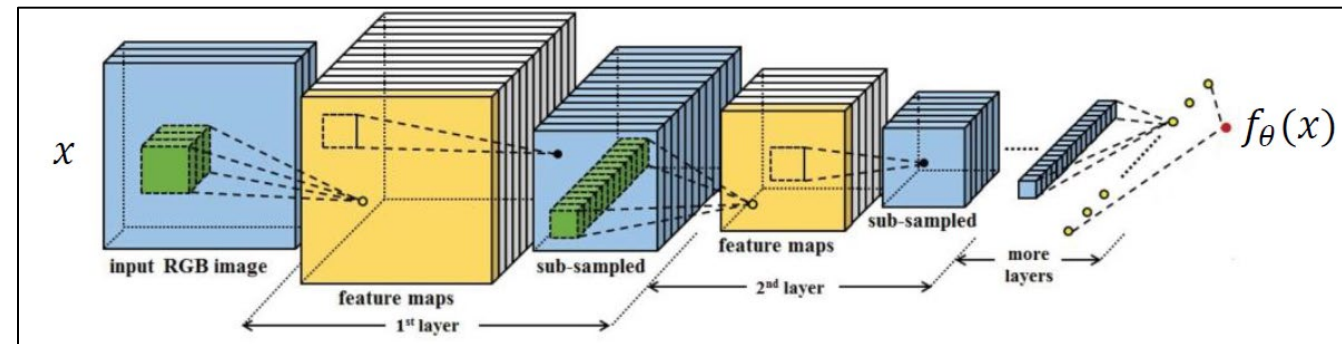
能量模型

■ 能量模型 (Energy-Based Model, EBM)：参数化的能量函数

$$p_{\theta}(x) = \frac{1}{Z(\theta)} \exp(f_{\theta}(x)) \quad Z(\theta) = \int \exp(f_{\theta}(x)) dx$$

□ 其中， $f_{\theta}(x) = -\frac{E_{\theta}(x)}{T}$

□ 实现 $f_{\theta}(x)$ ：
深度网络，
例如卷积神经网络





能量模型：讨论

■ 能量模型：模型参数 θ 下数据 x 的概率

$$p_{\theta}(x) = \frac{1}{Z(\theta)} \exp(f_{\theta}(x)) \quad Z(\theta) = \int \exp(f_{\theta}(x)) dx$$

□ 注意到，它类似于 Softmax 概率：

$$\Pr(c) = \frac{1}{Z} \exp(f(c)) = \frac{\exp(f(c))}{\sum_c \exp(f(c))}$$

□ 常关注**有约束**能量模型 $p_{\theta}(y|x) = \frac{1}{Z(\theta)} \exp(-\frac{E_{\theta}(x,y)}{T})$



能量模型：讨论

- 为什么选择指数形式 $\exp(f_\theta(x))$?
 - 具有最自然的对数似然形式
 - $\exp(f_\theta(x))$: $\log p_\theta(x) = f_\theta(x) - \log Z(\theta)$
 - 而其它形式, 例如 $f_\theta^2(x)$: $\log p_\theta(x) = \log f_\theta^2(x) - \log Z(\theta)$
 - 延续了指数族分布框架
 - 良好的理论基础: 充分统计量、最大熵原理、凸优化可解

$$p(x) = h(x) e^{\theta^\top T(x) - A(\theta)}$$



能量模型：讨论

- 计算配分函数 $Z(\theta) = \int \exp(f_\theta(x)) dx$ 往往很困难
 - 维度灾难，例如：
 - x 是 100^2 的 8-bit 灰度图像；此时图像空间规模为 256^{100^2}
 - 解决方案：MCMC近似
 - 采样 \tilde{n} 个样本 $\tilde{x}_i, i = 1, \dots, \tilde{n}$

$$Z(\theta) = \frac{1}{\tilde{n}} \sum_{i=1}^{\tilde{n}} \exp(f_\theta(\tilde{x}_i))$$

能量模型

■ 实例：分类问题

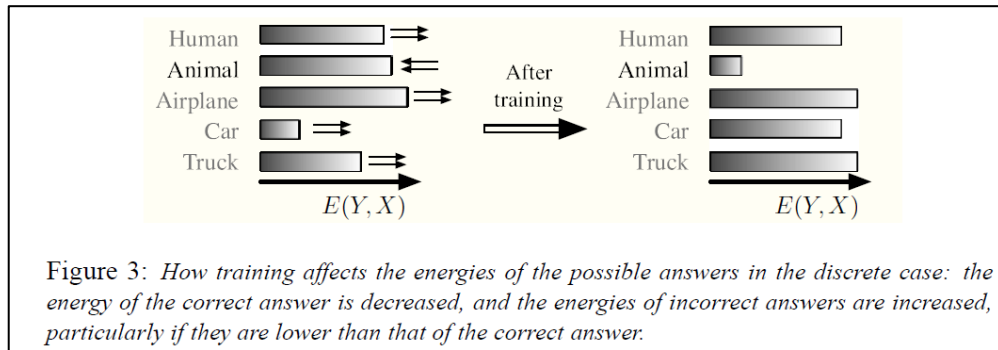
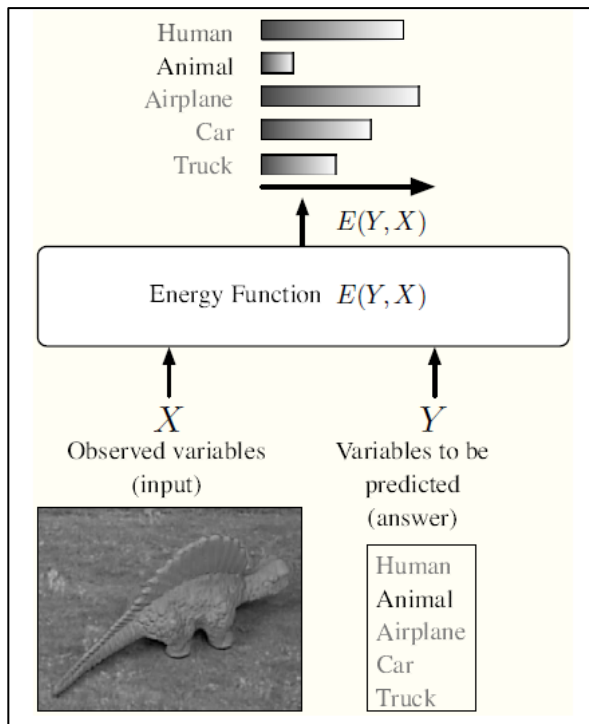


Figure 3: How training affects the energies of the possible answers in the discrete case: the energy of the correct answer is decreased, and the energies of incorrect answers are increased, particularly if they are lower than that of the correct answer.

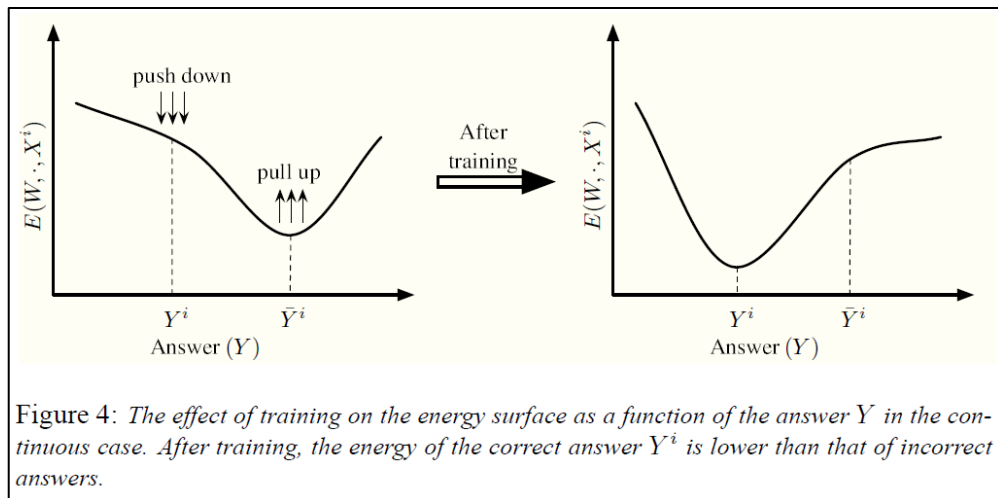


Figure 4: The effect of training on the energy surface as a function of the answer Y in the continuous case. After training, the energy of the correct answer Y^i is lower than that of incorrect answers.



能量模型

■ 两个核心问题

- 「学习能量地形」

如何估计能量函数 $E(\theta)$ 的模型参数 θ ?

- 极大似然估计

- 「从能量地形中采样」

假设模型参数 θ 已经给定，如何从模型中生成数据?

- MCMC 近似

KL散度：刻画模型分布

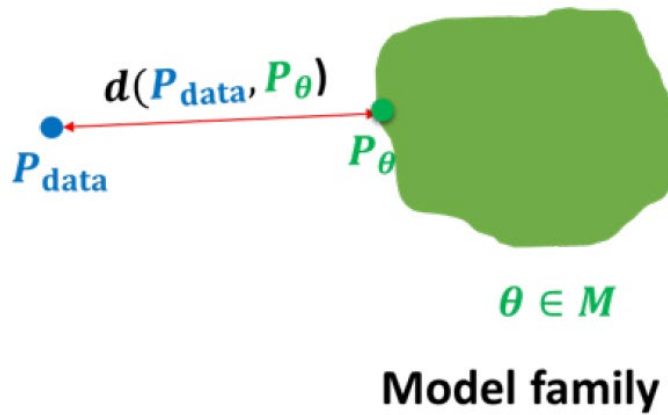
- 从真实分布 $p_{data}(x)$ 独立同分布采样数据

$$x_1, x_2, \dots, x_n \sim p_{data}(x)$$

- 令模型 $p_\theta(x)$ 近似真实分布
 - KL散度提供「对接近的度量」



$$\begin{aligned} x_i &\sim P_{data} \\ i &= 1, 2, \dots, n \end{aligned}$$





模型分布：极大似然估计

■ 模型分布的对数似然函数

$$L(\theta) = \frac{1}{n} \sum_{i=1}^n \log p_\theta(x_i) \rightarrow \mathbb{E}_{p_{\text{data}}} [\log p_\theta(x)]$$

□ 当样本量足够多时

$$\begin{aligned} D_{KL}(p_{\text{data}}(x) \parallel p_\theta(x)) &= \mathbb{E}_{p_{\text{data}}} \left[\log \frac{p_{\text{data}}(x)}{p_\theta(x)} \right] \\ &= \mathbb{E}_{p_{\text{data}}} \log p_{\text{data}}(x) - \mathbb{E}_{p_{\text{data}}} \log p_\theta(x) \\ &= \text{constant} - L(\theta) \end{aligned}$$

最小化 KL 散度 = 最大化对数似然

□ 极大似然估计：等效于让模型分布向真实数据分布靠近



模型分布：变分近似

- 给定能量模型形式的目标分布 p_{target}

$$p_{target}(x) = \frac{1}{Z} \exp(f(x))$$

- 无法直接采样 p_{target}
 - 变分近似：希望找到另一容易采样的分布 q_ϕ ，并使接近 p_{target}

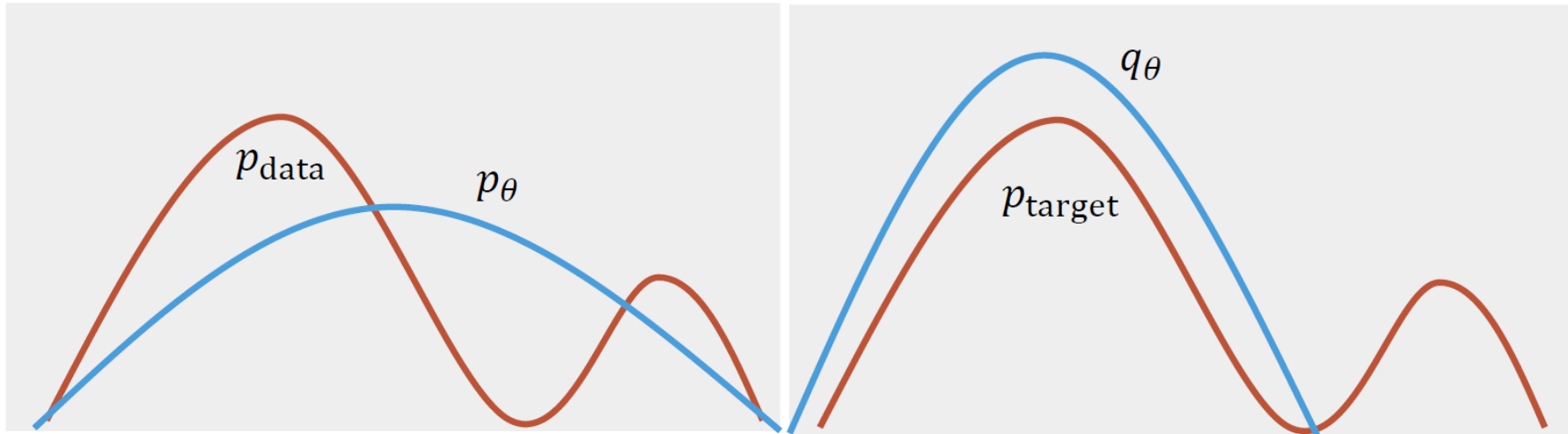
$$\mathbb{D}_{KL}(q_\phi \| p_{target}) = \mathbb{E}_{q_\phi} [\log q_\phi(x)] - \mathbb{E}_{q_\phi} [f(x)] + \log Z$$

模型分布

■ 极大似然估计 vs. 变分近似

$$\max L(\theta) = \mathbb{E}_{p_{data}} \log p_\theta(x)$$

$$\min \mathbb{E}_{q_\phi} [\log q_\phi(x)] - \mathbb{E}_{q_\phi} [f(x)]$$



极大似然估计：在所有可能的 p_{data} 分布中寻找 $p_\theta(x)$

变分近似： q_ϕ 倾向于关注 p_{target} 的主要模式，而忽略次要模式；容易模式坍塌



极大似然估计

■ 最大化对数似然函数

□ 对 $\log p_\theta(x_i)$ 求偏导

$$\max L(\theta) = \frac{1}{n} \sum_{i=1}^n \log p_\theta(x_i)$$

$$\begin{aligned}\nabla_\theta \log p_\theta(x) &= \nabla_\theta \log \frac{\exp(f_\theta(x))}{Z(\theta)} \\ &= \nabla_\theta f_\theta(x) - \nabla_\theta \log Z(\theta)\end{aligned}$$

□ 进而

$$\begin{aligned}\nabla_\theta L(\theta) &= \nabla_\theta \frac{1}{n} \sum_{i=1}^n \log p_\theta(x_i) \\ &= \frac{1}{n} \sum_{i=1}^n \nabla_\theta f_\theta(x_i) - \nabla_\theta \log Z(\theta)\end{aligned}$$



极大似然估计

- 难点：求 $\nabla_{\theta} \log Z(\theta)$

$$\begin{aligned}\nabla_{\theta} \log Z(\theta) &= \frac{1}{Z(\theta)} \nabla_{\theta} Z(\theta) \\&= \frac{1}{Z(\theta)} \nabla_{\theta} \int \exp(f_{\theta}(x)) dx \\&= \frac{1}{Z(\theta)} \int \exp(f_{\theta}(x)) \nabla_{\theta} f_{\theta}(x) dx \\&= \int \frac{1}{Z(\theta)} \exp(f_{\theta}(x)) \nabla_{\theta} f_{\theta}(x) dx \\&= \int p_{\theta}(x) \nabla_{\theta} f_{\theta}(x) dx \\&= \mathbb{E}_{p_{\theta}(x)} [\nabla_{\theta} f_{\theta}(x)]\end{aligned}$$

通常是未知或计算困难的



极大似然估计

- 计算 $\mathbb{E}_{p_\theta}[\nabla_\theta f_\theta(x)]$
 - 维度灾难
 - 方法: Monte Carlo 近似
 - 采样 \tilde{n} 个样本 $\tilde{x}_i, i = 1, \dots, \tilde{n}$

$$\mathbb{E}_{p_\theta}[\nabla_\theta f_\theta(x)] \approx \frac{1}{\tilde{n}} \sum_{i=1}^{\tilde{n}} \nabla_\theta f_\theta(\tilde{x}_i)$$



极大似然估计

■ 对数似然函数求偏导

$$\nabla_{\theta} L(\theta) = \frac{1}{n} \sum_{i=1}^n \nabla_{\theta} f_{\theta}(x_i) - \nabla_{\theta} \log Z(\theta)$$

$$= \frac{1}{n} \sum_{i=1}^n \nabla_{\theta} f_{\theta}(x_i) - \mathbb{E}_{p_{\theta}}[\nabla_{\theta} f_{\theta}(x)]$$

$$\approx \boxed{\frac{1}{n} \sum_{i=1}^n \nabla_{\theta} f_{\theta}(x_i)} - \boxed{\frac{1}{\tilde{n}} \sum_{i=1}^{\tilde{n}} \nabla_{\theta} f_{\theta}(\tilde{x}_i)}$$



观测统计量



合成统计量：用MC近似



极大似然估计

■ 迭代算法

输入：训练样本 x_1, x_2, \dots, x_n ，初值 θ_0

输出：模型参数 θ_T

For $t = 1$ to T

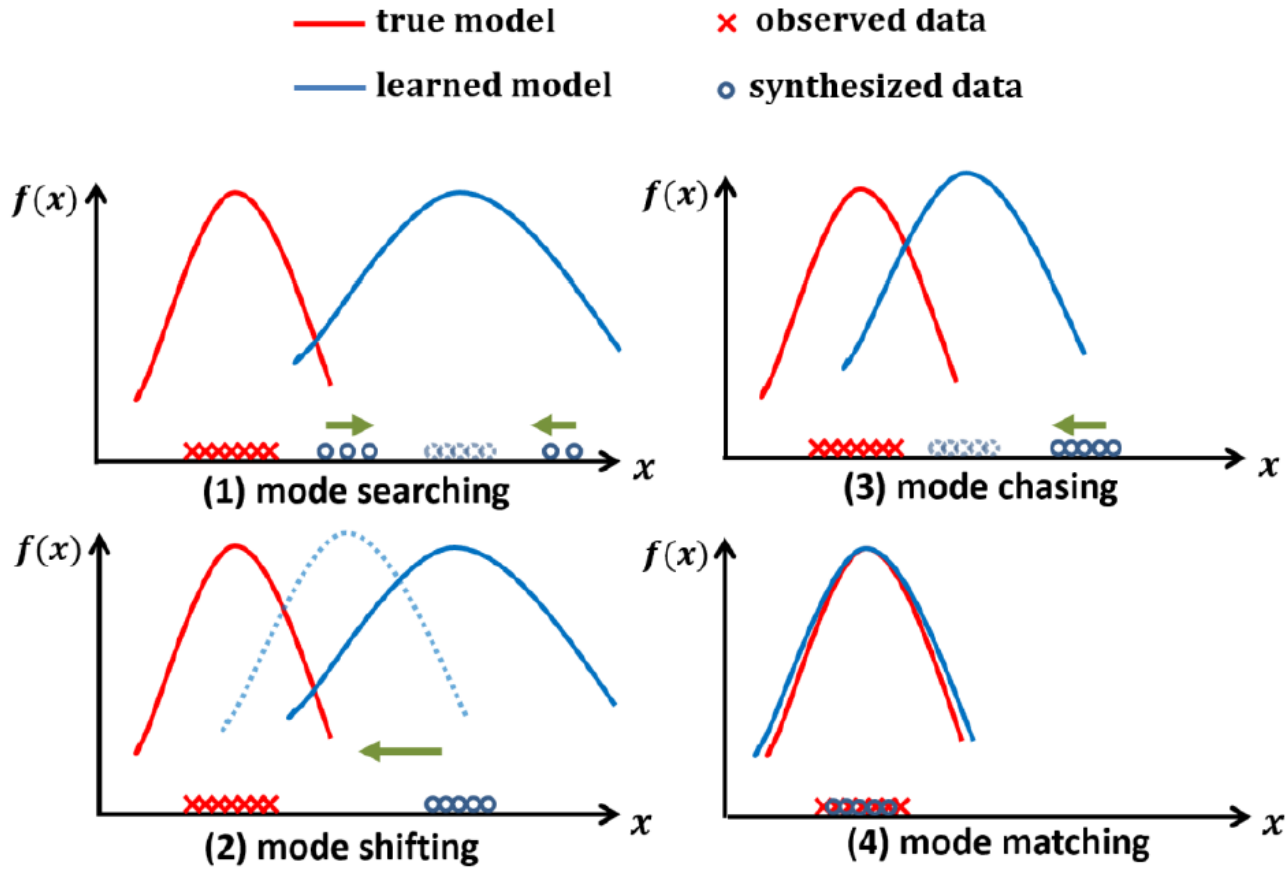
生成数据 $\tilde{x}_1, \tilde{x}_2, \dots, \tilde{x}_{\tilde{n}}$

估计模型参数

$$\theta_t = \theta_{t-1} + \eta_t \left[\frac{1}{n} \sum_{i=1}^n \nabla_{\theta} f_{\theta}(x_i) - \frac{1}{\tilde{n}} \sum_{i=1}^{\tilde{n}} \nabla_{\theta} f_{\theta}(\tilde{x}_i) \right]$$

极大似然估计

■ 例子





MCMC近似

■ 生成数据：

□ 给定模型参数 θ ，从分布 $p_\theta(x)$ 中 MCMC 生成数据

随机初始化 x^0 , $t = 1$

For $t = 1: (m + \tilde{n})$

令 $x' = x^t + \text{noise}$

如果 $f_\theta(x') > f_\theta(x^t)$

令 $x^{t+1} = x'$

反之

令 $x^{t+1} = x'$, 生成概率为 $\exp(f_\theta(x') - f_\theta(x^t))$

梯度MCMC

■ 朗之万动力学 (Langevin Dynamics)

$$x_{t+\Delta t} = x_t + \frac{\Delta t}{2} \boxed{\nabla_x f_\theta(x_t)} + \boxed{\sqrt{\Delta t} e_t}$$

梯度方向 布朗运动

□ Δt : 步长

- 随着 $\Delta t \rightarrow 0$ 和 $t \rightarrow \infty$, $p(x_t) \rightarrow p_\theta(x)$
- $e_\tau \sim \mathcal{N}(0, I)$





梯度MCMC

■ 朗之万动力学

$$x_{t+\Delta t} = x_t + \frac{\Delta t}{2} \nabla_x f_\theta(x_t) + \sqrt{\Delta t} e_t$$

□ 略作修改：

- 令初始化 x_0 为纯噪声
- 明确建模时间步的噪声强度 $\Delta t = \beta_t$
- 梯度项写成对数概率梯度 $\nabla_x \log p_\theta(x_t)$

□ 结果：Diffusion

$$x_{t-1} = x_t - \frac{\beta_t}{2} \nabla_x \log p_\theta(x_t) + \sqrt{\beta_t} \epsilon_t$$



能量模型 vs. 判别模型

■ 判别模型

- 设输入 x , 标签 $y \in C$
- 则 softmax 分类器

$$p_{\theta}(y = c | x) = \frac{\exp(f_{c,\theta}(x))}{\sum_{c'=1}^C \exp(f_{c',\theta}(x))}$$

- $f_{c,\theta}$ 表示深度网络

判别分类器可以表示为某一个有约束的能量模型



$$Z_{\theta}(x) = \sum_{c=1}^C \exp(f_{c,\theta}(x))$$

$$p_{\theta}(y = c | x) = \frac{1}{Z_{\theta}(x)} \exp(f_{c,\theta}(x))$$



能量模型 vs. 判别模型

■ 能量模型：一般形式

$$p_{\theta}(x) = \frac{1}{Z_{\theta}} \exp(f_{\theta}(x)) q(x)$$

- $q(x)$: 关于 x 的先验测度
 - 例如：均匀分布高斯白噪声分布
- 将 $p_{\theta}(x)$ 视作正样本分布， $q(x)$ 视作负样本分布

$$p(x|y=1) = p_{\theta}(x)$$

$$p(x|y=0) = q(x)$$

- 类别先验 $p(y=1) = \rho$ $p(y=0) = 1 - \rho$



能量模型 vs. 判别模型

■ 能量模型等价于 logistic 分类器

$$\begin{aligned} P(y=1|x) &= \frac{P(y=1,x)}{P(x)} = \frac{p(y=1)p(x|y=1)}{p(y=1)p(x|y=1)+p(y=0)p(x|y=0)} \\ &= \frac{\rho p_\theta(x)}{\rho p_\theta(x)+(1-\rho)q(x)} = \frac{\rho \frac{\exp(f_\theta(x))q(x)}{Z(\theta)}}{\rho \frac{\exp(f_\theta(x))q(x)}{Z(\theta)} + (1-\rho)q(x)} \\ &= \frac{\exp\left(f_\theta(x)+\log\frac{\rho}{(1-\rho)Z(\theta)}\right)}{\exp\left(f_\theta(x)+\log\frac{\rho}{(1-\rho)Z(\theta)}\right)+1} \end{aligned}$$

偏置项：
与模型参数和类别先
验有关，而与 x 无关



能量模型 vs. 判别模型

■ 能量模型等价于 softmax 分类器

■ 二分类问题

$$P(y = 1|x) = \frac{\exp(f_{\theta}(x)+b)}{\exp(f_{\theta}(x)+b)+1}$$

$$b = \log \frac{\rho}{(1 - \rho)} - \log Z(\theta)$$

■ 多分类问题

□ 概率密度函数

$$p_{c,\theta}(x) = \frac{1}{Z_{c,\theta}} \exp(f_{c,\theta}(x)) q(x), c = 1, \dots, C$$

□ 分类器

$$p(y = c | x) = \frac{\exp(f_{c,\theta}(x) + b_c)}{\sum_{c=1}^C \exp(f_{c,\theta}(x) + b_c)} \quad \text{where } b_c = \log \rho_c - \log Z_{c,\theta}$$



目录

- 马尔可夫链蒙特卡罗法 (MCMC)
- 能量模型
- 受限玻尔兹曼机 (RBM)
- 深度信念网络 (DBN)
- 深度玻尔兹曼机 (DBM)

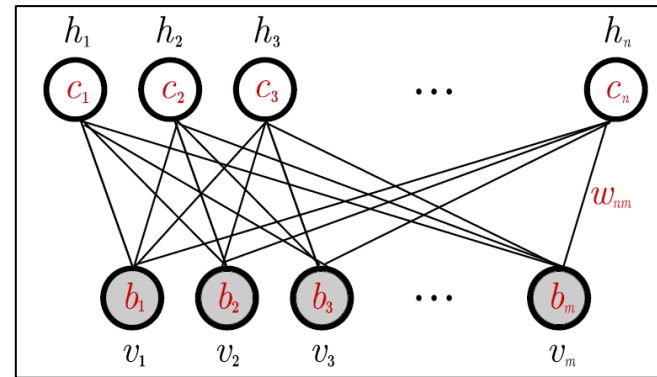


受限玻尔兹曼机 (RBM)

■ 受限玻尔兹曼机 (Restricted Boltzmann Machine)

□ 玻尔兹曼机：无向、成对相互作用的能量网络

- 一层观测变量 v
- 一层隐变量：学习输入的表示 h
- 变量取值为0/1



□ 受限：观测变量之间、隐变量之间没有连接

$$p(v | h) = \prod_{i=1}^m p(v_i | h)$$

$$p(h | v) = \prod_{i=1}^n p(h_i | v)$$

受限玻尔兹曼机 (RBM)

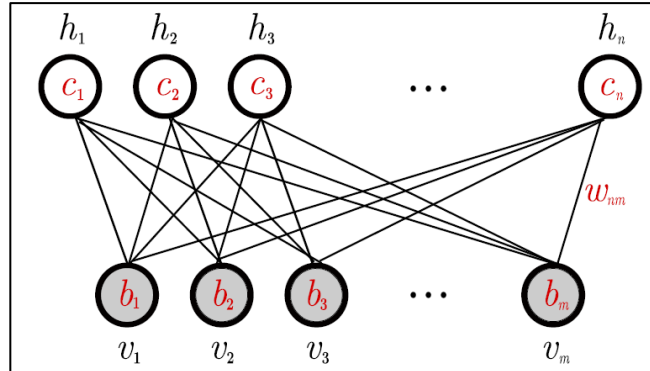
■ 能量函数

$$E(v, h) = -b^\top v - c^\top h - v^\top Wh$$

- W : 模型参数的权重矩阵
- b, c : 偏置向量

■ 联合概率分布

$$p(v, h) = \frac{\exp(-E(v, h))}{Z}$$



■ 观测变量的边缘分布

$$p(v) = \sum_h p(v, h) = \frac{1}{Z} \sum_h e^{-E(v, h)}$$



受限玻尔兹曼机 (RBM)

■ 观测变量分布

$$\begin{aligned} p(\mathbf{v}) &= \frac{1}{Z} \sum_{\mathbf{h}} p(\mathbf{v}, \mathbf{h}) = \frac{1}{Z} \sum_{\mathbf{h}} e^{-E(\mathbf{v}, \mathbf{h})} \\ &= \frac{1}{Z} \sum_{h_1} \sum_{h_2} \dots \sum_{h_n} e^{\sum_{j=1}^m b_j v_j} \prod_{i=1}^n e^{h_i(c_i + \sum_{j=1}^m w_{ij} v_j)} \\ &= \frac{1}{Z} e^{\sum_{j=1}^m b_j v_j} \sum_{h_1} e^{h_1(c_1 + \sum_{j=1}^m w_{1j} v_j)} \sum_{h_2} e^{h_2(c_2 + \sum_{j=1}^m w_{2j} v_j)} \dots \sum_{h_n} e^{h_n(c_n + \sum_{j=1}^m w_{nj} v_j)} \\ &= \frac{1}{Z} e^{\sum_{j=1}^m b_j v_j} \prod_{i=1}^n \sum_{h_i} e^{h_i(c_i + \sum_{j=1}^m w_{ij} v_j)} \\ &= \frac{1}{Z} \prod_{j=1}^m e^{b_j v_j} \prod_{i=1}^n \left(1 + e^{c_i + \sum_{j=1}^m w_{ij} v_j} \right) \quad (22) \end{aligned}$$

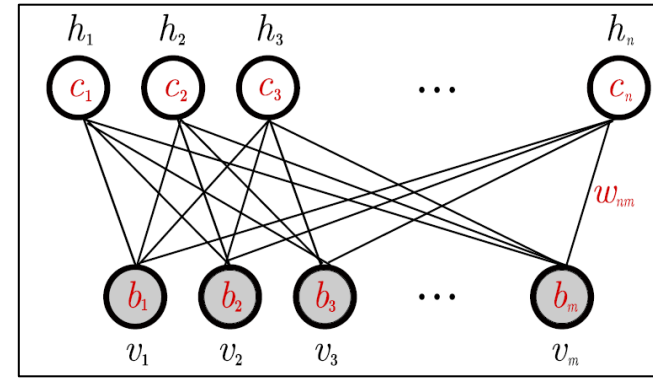
专家模型：神经
网络

□ RBM被认为是多专家模型的乘积

受限玻尔兹曼机（RBM）

■ 条件概率分布

$$\begin{aligned}
 P(\mathbf{h} | \mathbf{v}) &= \frac{P(\mathbf{h}, \mathbf{v})}{P(\mathbf{v})} \\
 &= \frac{1}{P(\mathbf{v})} \frac{1}{Z} \exp \left\{ \mathbf{b}^\top \mathbf{v} + \mathbf{c}^\top \mathbf{h} + \mathbf{v}^\top \mathbf{W} \mathbf{h} \right\} \\
 &= \frac{1}{Z'} \exp \left\{ \mathbf{c}^\top \mathbf{h} + \mathbf{v}^\top \mathbf{W} \mathbf{h} \right\} \\
 &= \frac{1}{Z'} \exp \left\{ \sum_{j=1}^{n_h} c_j h_j + \sum_{j=1}^{n_h} \mathbf{v}^\top \mathbf{W}_{:,j} \mathbf{h}_j \right\} \\
 &= \frac{1}{Z'} \prod_{j=1}^{n_h} \boxed{\exp \left\{ c_j h_j + \mathbf{v}^\top \mathbf{W}_{:,j} \mathbf{h}_j \right\}}.
 \end{aligned}$$



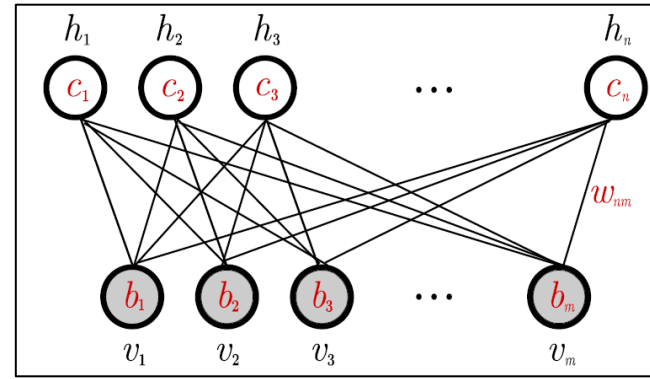
受限玻尔兹曼机 (RBM)

■ 每个隐含单元的条件概率

- 观测变量 $v \in \{0,1\}^m$
- 隐含变量 $h \in \{0,1\}^n$

$$\begin{aligned}
 P(h_j = 1 \mid v) &= \frac{\tilde{P}(h_j = 1 \mid v)}{\tilde{P}(h_j = 0 \mid v) + \tilde{P}(h_j = 1 \mid v)} \\
 &= \frac{\exp \{c_j + v^\top W_{:,j}\}}{\exp \{0\} + \exp \{c_j + v^\top W_{:,j}\}} \\
 &= \sigma(c_j + v^\top W_{:,j}).
 \end{aligned}$$

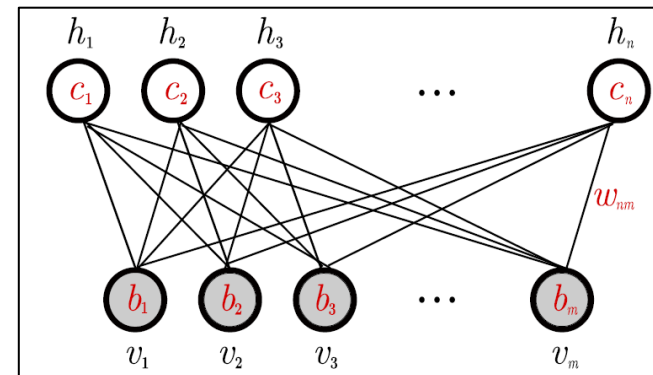
- 其中, $\sigma(x) = \frac{1}{1+\exp(-x)}$ 是 sigmoid 激活函数



受限玻尔兹曼机 (RBM)

■ 每个隐含单元的条件概率

$$\begin{aligned} P(h_j = 0 | v) &= \frac{\tilde{P}(h_j = 0 | v)}{\tilde{P}(h_j = 0 | v) + \tilde{P}(h_j = 1 | v)} \\ &= \frac{\exp\{0\}}{\exp\{0\} + \exp\{c_j + v^T W_{:,j}\}} \\ &= \sigma(-c_j - v^T W_{:,j}) \end{aligned}$$



■ 条件概率分布

$$P(\mathbf{h} | \mathbf{v}) = \prod_{j=1}^{n_h} \sigma \left((2\mathbf{h} - 1) \odot (\mathbf{c} + \mathbf{W}^\top \mathbf{v}) \right)_j$$

$$P(\mathbf{v} | \mathbf{h}) = \prod_{i=1}^{n_v} \sigma \left((2\mathbf{v} - 1) \odot (\mathbf{b} + \mathbf{W}\mathbf{h}) \right)_i$$



受限玻尔兹曼机（RBM）

- 两个主要问题：
 - 模型参数估计 W, b, c
 - 极大似然估计
 - 从估计分布中采样
 - 块吉布斯采样 (Block Gibbs Sampling)



受限玻尔兹曼机 (RBM)

■ 极大似然估计

$$\mathcal{L}(\theta) = \mathbb{E}_{p_{\text{data}}(v)}[\log p_\theta(v)]$$

□ 直接求解?

$$\frac{\partial \log p_\theta(v)}{\partial \theta} = -\mathbb{E}_{p_{\text{data}}}[\frac{\partial E_\theta(v, h)}{\partial \theta}] + \mathbb{E}_{p_\theta}[\frac{\partial E_\theta(v, h)}{\partial \theta}]$$

无法算

□ 通过梯度上升数值逼近:

$$\theta^{(t+1)} = \theta^{(t)} + \eta \frac{\partial}{\partial \theta^{(t)}} \left(\sum_{i=1}^N \ln \mathcal{L}(\theta^{(t)} | x_i) \right) - \lambda \theta^{(t)} + \nu \Delta \theta^{(t-1)}$$

$\underbrace{\quad\quad\quad}_{:= \Delta \theta^{(t)}}$

导数项: 梯度上升方向 权重衰减: 参数尺度的正则项 动量: 平滑轨迹、减少震荡



受限玻尔兹曼机 (RBM)

■ 极大似然估计

□ 单个观测数据的对数似然函数

$$\ln \mathcal{L}(\theta | v) = \ln p(v | \theta) = \ln \frac{1}{Z} \sum_{\mathbf{h}} e^{-E(v, \mathbf{h})} = \ln \sum_{\mathbf{h}} e^{-E(v, \mathbf{h})} - \ln \sum_{v, \mathbf{h}} e^{-E(v, \mathbf{h})}$$

真实数据区域的能量 能量地形的整体水平

■ 求偏导

$$\begin{aligned}\frac{\partial \ln \mathcal{L}(\theta | v)}{\partial \theta} &= \frac{\partial}{\partial \theta} \left(\ln \sum_{\mathbf{h}} e^{-E(v, \mathbf{h})} \right) - \frac{\partial}{\partial \theta} \left(\ln \sum_{v, \mathbf{h}} e^{-E(v, \mathbf{h})} \right) \\ &= -\frac{1}{\sum_{\mathbf{h}} e^{-E(v, \mathbf{h})}} \sum_{\mathbf{h}} e^{-E(v, \mathbf{h})} \frac{\partial E(v, \mathbf{h})}{\partial \theta} + \frac{1}{\sum_{v, \mathbf{h}} e^{-E(v, \mathbf{h})}} \sum_{v, \mathbf{h}} e^{-E(v, \mathbf{h})} \frac{\partial E(v, \mathbf{h})}{\partial \theta} \\ &= \boxed{-\sum_{\mathbf{h}} p(\mathbf{h} | v) \frac{\partial E(v, \mathbf{h})}{\partial \theta}} + \boxed{\sum_{v, \mathbf{h}} p(v, \mathbf{h}) \frac{\partial E(v, \mathbf{h})}{\partial \theta}}\end{aligned}$$

正项：数据期望

负项：模型期望



受限玻尔兹曼机（RBM）

■ 极大似然估计

□ 单个观测数据的对数似然函数

- 第一项：数据期望，关于权重 W 求偏导

$$E(v, h) = -b^\top v - c^\top h - v^\top Wh$$

$$\begin{aligned} -\sum_{\mathbf{h}} p(\mathbf{h} | \mathbf{v}) \frac{\partial E(\mathbf{v}, \mathbf{h})}{\partial w_{ij}} &= \sum_{\mathbf{h}} p(\mathbf{h} | \mathbf{v}) h_i v_j \\ &= \sum_{\mathbf{h}} \prod_{k=1}^n p(h_k | \mathbf{v}) h_i v_j = \sum_{h_i} \sum_{\mathbf{h}_{-i}} p(h_i | \mathbf{v}) p(\mathbf{h}_{-i} | \mathbf{v}) h_i v_j \\ &= \sum_{h_i} p(h_i | \mathbf{v}) h_i v_j \underbrace{\sum_{\mathbf{h}_{-i}} p(\mathbf{h}_{-i} | \mathbf{v})}_{=1} = p(H_i = 1 | \mathbf{v}) v_j = \sigma \left(\sum_{j=1}^m w_{ij} v_j + c_i \right) v_j \end{aligned}$$



受限玻尔兹曼机 (RBM)

- 极大似然估计
 - 单个观测数据的整体对数似然，关于 W 求偏导

$$\begin{aligned}\frac{\partial \ln \mathcal{L}(\theta | \mathbf{v})}{\partial w_{ij}} &= - \sum_{\mathbf{h}} p(\mathbf{h} | \mathbf{v}) \frac{\partial E(\mathbf{v}, \mathbf{h})}{\partial w_{ij}} + \sum_{\mathbf{v}, \mathbf{h}} p(\mathbf{v}, \mathbf{h}) \frac{\partial E(\mathbf{v}, \mathbf{h})}{\partial w_{ij}} \\ &= \sum_{\mathbf{h}} p(\mathbf{h} | \mathbf{v}) h_i v_j - \boxed{\sum_{\mathbf{v}} p(\mathbf{v}) \sum_{\mathbf{h}} p(\mathbf{h} | \mathbf{v}) h_i v_j} \\ &= p(H_i = 1 | \mathbf{v}) v_j - \sum_{\mathbf{v}} p(\mathbf{v}) p(H_i = 1 | \mathbf{v}) v_j\end{aligned}$$

对所有 $\{\mathbf{v}, \mathbf{h}\}$ 求和是困难的！



受限玻尔兹曼机 (RBM)

■ 极大似然估计

- 整个数据集的对数似然函数，关于 W 求偏导

- 给定训练集 $S = \{\mathbf{v}_1, \dots, \mathbf{v}_\ell\}$ 和 $q(\mathbf{v})$: 经验分布

$$\begin{aligned} \frac{1}{\ell} \sum_{\mathbf{v} \in S} \frac{\partial \ln \mathcal{L}(\boldsymbol{\theta} | \mathbf{v})}{\partial w_{ij}} &= \frac{1}{\ell} \sum_{\mathbf{v} \in S} \left[-\mathbb{E}_{p(\mathbf{h} | \mathbf{v})} \left[\frac{\partial E(\mathbf{v}, \mathbf{h})}{\partial w_{ij}} \right] + \mathbb{E}_{p(\mathbf{h}, \mathbf{v})} \left[\frac{\partial E(\mathbf{v}, \mathbf{h})}{\partial w_{ij}} \right] \right] \\ &= \frac{1}{\ell} \sum_{\mathbf{v} \in S} [\mathbb{E}_{p(\mathbf{h} | \mathbf{v})} [v_i h_j] - \mathbb{E}_{p(\mathbf{h}, \mathbf{v})} [v_i h_j]] \\ &= \langle v_i h_j \rangle_{p(\mathbf{h} | \mathbf{v}) q(\mathbf{v})} - \langle v_i h_j \rangle_{p(\mathbf{h}, \mathbf{v})} \end{aligned}$$

$$\begin{aligned} \langle v_i h_j \rangle_{\text{data}} &= \mathbb{E}_{v \sim q(v), h \sim p(h|v)} [v_i h_j] \\ \langle v_i h_j \rangle_{\text{model}} &= \mathbb{E}_{(v,h) \sim p(v,h)} [v_i h_j] \end{aligned}$$



$$\sum_{\mathbf{v} \in S} \frac{\partial \ln \mathcal{L}(\boldsymbol{\theta} | \mathbf{v})}{\partial w_{ij}} \propto \langle v_i h_j \rangle_{\text{data}} - \langle v_i h_j \rangle_{\text{model}}$$



受限玻尔兹曼机 (RBM)

■ 极大似然估计

- 单个数据的对数似然，关于 b 求偏导

$$\frac{\partial \ln \mathcal{L}(\theta | \mathbf{v})}{\partial b_j} = v_j - \sum_{\mathbf{v}} p(\mathbf{v}) v_j$$

- 单个数据的对数似然，关于 c 求偏导

$$\frac{\partial \ln \mathcal{L}(\theta | \mathbf{v})}{\partial c_i} = p(H_i = 1 | \mathbf{v}) - \sum_{\mathbf{v}} p(\mathbf{v}) p(H_i = 1 | \mathbf{v})$$

- “共同形式”：梯度 = 数据期望 – 模型期望

受限玻尔兹曼机 (RBM)

- 对比散度 (Contrastive Divergence, CD)
 - 从真实数据出发，进行有限步 Gibbs 采样

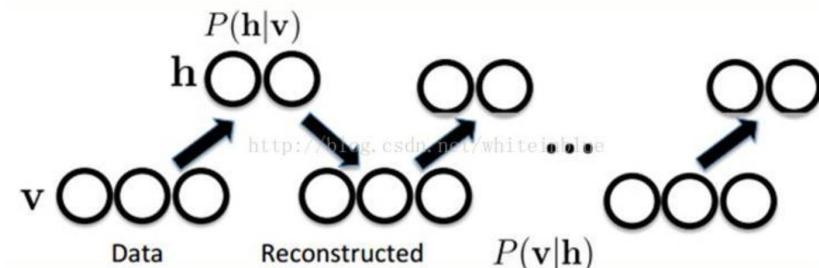
$$\text{CD}_k(\theta, \mathbf{v}^{(0)}) = - \sum_{\mathbf{h}} p(\mathbf{h}|\mathbf{v}^{(0)}) \frac{\partial E(\mathbf{v}^{(0)}, \mathbf{h})}{\partial \theta} + \sum_{\mathbf{h}} p(\mathbf{h}|\mathbf{v}^{(k)}) \frac{\partial E(\mathbf{v}^{(k)}, \mathbf{h})}{\partial \theta}$$

真实数据分布

经过第 k 步 Gibbs 采样的模型近似分布

- 给定 $\mathbf{v}^{(t)}$ ，从分布 $p(\mathbf{h}|\mathbf{v}^{(t)})$ 采样 $\mathbf{h}^{(t)}$
- 给定 $\mathbf{h}^{(t)}$ ，从分布 $p(\mathbf{v}|\mathbf{h}^{(t)})$ 采样 $\mathbf{v}^{(t+1)}$

$$\mathbf{v}^{(0)} \Rightarrow \mathbf{h}^{(0)} \Rightarrow \mathbf{v}^{(1)} \Rightarrow \mathbf{h}^{(1)} \dots$$



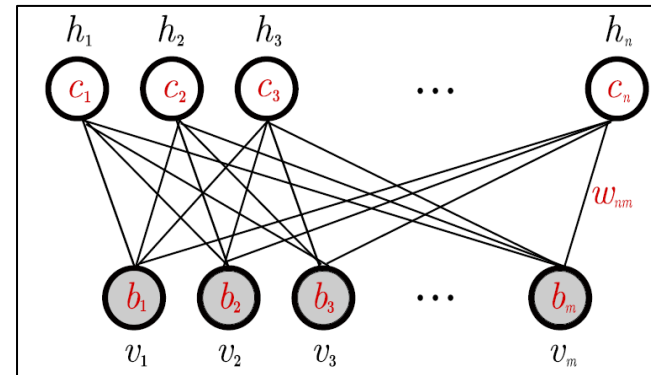
受限玻尔兹曼机 (RBM)

■ 块吉布斯采样 (Block Gibbs Sampling)

- 给定所有隐藏单元，所有可见单元可以被并行采样

$$p(\mathbf{v} | \mathbf{h}) = \prod_{i=1}^m p(v_i | \mathbf{h})$$

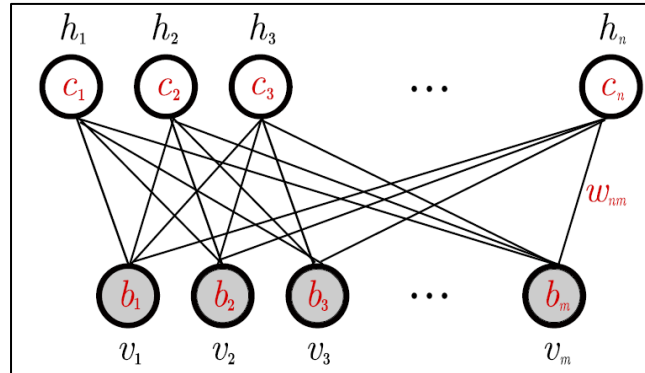
$$\begin{aligned}
 p(V_l = 1 | \mathbf{h}) &= p(V_l = 1 | \mathbf{v}_{-l}, \mathbf{h}) = \frac{p(V_l = 1, \mathbf{v}_{-l}, \mathbf{h})}{p(\mathbf{v}_{-l}, \mathbf{h})} \\
 &= \frac{e^{-E(v_l=1, \mathbf{v}_{-l}, \mathbf{h})}}{e^{-E(v_l=1, \mathbf{v}_{-l}, \mathbf{h})} + e^{-E(v_l=0, \mathbf{v}_{-l}, \mathbf{h})}} = \frac{e^{-\beta(\mathbf{v}_{-l}, \mathbf{h}) - 1 \cdot \alpha_l(\mathbf{h})}}{e^{-\beta(\mathbf{v}_{-l}, \mathbf{h}) - 1 \cdot \alpha_l(\mathbf{h})} + e^{-\beta(\mathbf{v}_{-l}, \mathbf{h}) - 0 \cdot \alpha_l(\mathbf{h})}} \\
 &= \frac{e^{-\beta(\mathbf{v}_{-l}, \mathbf{h})} \cdot e^{-\alpha_l(\mathbf{h})}}{e^{-\beta(\mathbf{v}_{-l}, \mathbf{h})} \cdot e^{-\alpha_l(\mathbf{h})} + e^{-\beta(\mathbf{v}_{-l}, \mathbf{h})}} = \frac{e^{-\beta(\mathbf{v}_{-l}, \mathbf{h})} \cdot e^{-\alpha_l(\mathbf{h})}}{e^{-\beta(\mathbf{v}_{-l}, \mathbf{h})} \cdot (e^{-\alpha_l(\mathbf{v}_{-l}, \mathbf{h})} + 1)} \\
 &= \frac{e^{-\alpha_l(\mathbf{v}_{-l}, \mathbf{h})}}{e^{-\alpha_l(\mathbf{v}_{-l}, \mathbf{h})} + 1} = \frac{\frac{1}{e^{\alpha_l(\mathbf{h})}}}{\frac{1}{e^{\alpha_l(\mathbf{h})}} + 1} = \frac{1}{1 + e^{\alpha_l(\mathbf{v}_{-l}, \mathbf{h})}} \\
 &= \sigma(-\alpha_l(\mathbf{h})) = \sigma\left(\sum_{i=1}^n w_{il} h_i + b_j\right) \quad (27)
 \end{aligned}$$



受限玻尔兹曼机 (RBM)

- 块吉布斯采样 (Block Gibbs Sampling)
 - 给定所有可见单元，所有隐藏单元可以被并行采样

$$p(\mathbf{h} | \mathbf{v}) = \prod_{i=1}^n p(h_i | \mathbf{v})$$





受限玻尔兹曼机 (RBM)

Algorithm 1. k -step contrastive divergence

Input: RBM $(V_1, \dots, V_m, H_1, \dots, H_n)$, training batch S

Output: gradient approximation Δw_{ij} , Δb_j and Δc_i for $i = 1, \dots, n$,
 $j = 1, \dots, m$

1 init $\Delta w_{ij} = \Delta b_j = \Delta c_i = 0$ for $i = 1, \dots, n$, $j = 1, \dots, m$

2 **forall** the $v \in S$ **do**

3 $v^{(0)} \leftarrow v$

4 **for** $t = 0, \dots, k - 1$ **do**

5 **for** $i = 1, \dots, n$ **do** sample $h_i^{(t)} \sim p(h_i | v^{(t)})$

6 **for** $j = 1, \dots, m$ **do** sample $v_j^{(t+1)} \sim p(v_j | h^{(t)})$

块吉布斯采样

7 **for** $i = 1, \dots, n$, $j = 1, \dots, m$ **do**

8 $\Delta w_{ij} \leftarrow \Delta w_{ij} + p(H_i = 1 | v^{(0)}) \cdot v_j^{(0)} - p(H_i = 1 | v^{(k)}) \cdot v_j^{(k)}$

9 $\Delta b_j \leftarrow \Delta b_j + v_j^{(0)} - v_j^{(k)}$

10 $\Delta c_i \leftarrow \Delta c_i + p(H_i = 1 | v^{(0)}) - p(H_i = 1 | v^{(k)})$

CD- k



受限玻尔兹曼机 (RBM)

■ 对比散度的理论依据

Theorem 1 (Bengio and Delalleau [3]). *For a converging Gibbs chain*

$$\mathbf{v}^{(0)} \Rightarrow \mathbf{h}^{(0)} \Rightarrow \mathbf{v}^{(1)} \Rightarrow \mathbf{h}^{(1)} \dots$$

starting at data point $\mathbf{v}^{(0)}$, the log-likelihood gradient can be written as

$$\begin{aligned} \frac{\partial}{\partial \theta} \ln p(\mathbf{v}^{(0)}) &= - \sum_{\mathbf{h}} p(\mathbf{h}|\mathbf{v}^{(0)}) \frac{\partial E(\mathbf{v}^{(0)}, \mathbf{h})}{\partial \theta} \\ &+ E_{p(\mathbf{v}^{(k)}|\mathbf{v}^{(0)})} \left[\sum_{\mathbf{h}} p(\mathbf{h}|\mathbf{v}^{(k)}) \frac{\partial E(\mathbf{v}^{(k)}, \mathbf{h})}{\partial \theta} \right] + E_{p(\mathbf{v}^{(k)}|\mathbf{v}^{(0)})} \left[\frac{\partial \ln p(\mathbf{v}^{(k)})}{\partial \theta} \right] \end{aligned}$$

and the final term converges to zero as k goes to infinity.



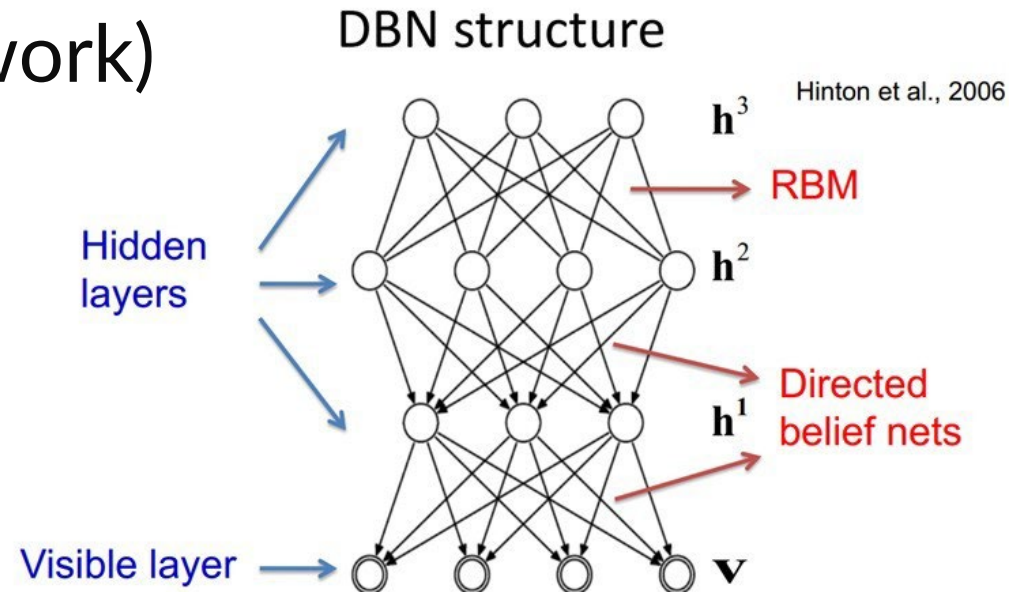
目录

- 马尔可夫链蒙特卡罗法 (MCMC)
- 能量模型
- 受限玻尔兹曼机 (RBM)
- 深度信念网络 (DBN)
- 深度玻尔兹曼机 (DBM)

深度信念网络 (DBN)

■ 深度信念网络 (Deep Belief Network)

- 是具有若干隐变量层的生成模型
 - 可见单元：二值或实数
 - 隐变量：通常是二值的
- 是第一批成功应用深度架构训练的非卷积模型之一

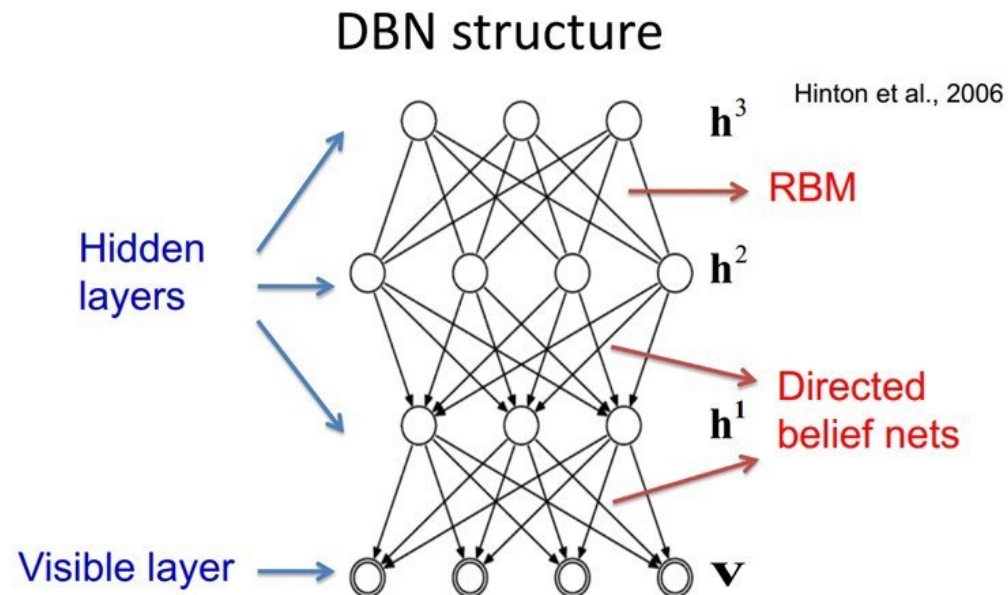


深度信念网络 (DBN)

■ 有向和无向连接的混合图模型

- 从 v 层出发，以 RBM 建模 $p(v|h^1)$ ，冻结为有向图
- 迭代建模 $p(h^1|h^2), p(h^2|h^3) \dots$

$$\begin{aligned} p(v, h^1, h^2, h^3) &= p(v|h^1, h^2, h^3)p(h^1, h^2, h^3) \\ &= p(v|h^1)p(h^1|h^2)p(h^2|h^3) \end{aligned}$$





深度信念网络 (DBN)

■ 概率分布: l 个隐藏层

- l 个权重矩阵 $W^{(1)}, \dots, W^{(l)}$
- $l + 1$ 个偏置向量 $b^{(0)}, b^{(1)}, \dots, b^{(l)}$, 其中 $b^{(0)}$ 是可见层的偏置向量

■ 概率分布

$$P(\mathbf{h}^{(l)}, \mathbf{h}^{(l-1)}) \propto \exp \left(\mathbf{b}^{(l)}^\top \mathbf{h}^{(l)} + \mathbf{b}^{(l-1)\top} \mathbf{h}^{(l-1)} + \mathbf{h}^{(l-1)\top} \mathbf{W}^{(l)} \mathbf{h}^{(l)} \right),$$

无向部分 (顶层RBM)

$$P(h_i^{(k)} = 1 \mid \mathbf{h}^{(k+1)}) = \sigma \left(b_i^{(k)} + \mathbf{W}_{:,i}^{(k+1)\top} \mathbf{h}^{(k+1)} \right) \forall i, \forall k \in 1, \dots, l-2,$$

有向部分



深度信念网络 (DBN)

- 概率分布：可见层
 - 如果可见层是二值

$$P(v_i = 1 \mid \mathbf{h}^{(1)}) = \sigma \left(b_i^{(0)} + \mathbf{W}_{:,i}^{(1)\top} \mathbf{h}^{(1)} \right) \forall i$$

- 如果可见层取实值

$$\mathbf{v} \sim \mathcal{N} \left(v; \mathbf{b}^{(0)} + \mathbf{W}^{(1)\top} \mathbf{h}^{(1)}, \boldsymbol{\beta}^{-1} \right)$$



深度信念网络 (DBN)

■ 训练过程

- 充分训练第一个 RBM——CD算法
- 固定第一个 RBM 的 W, b ，使用其**隐神经元的状态**，作为第二个 RBM 的**输入向量**

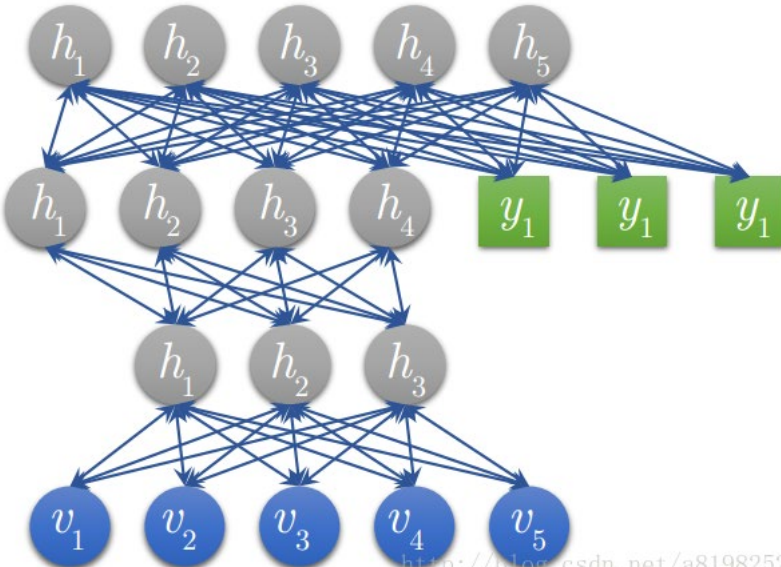
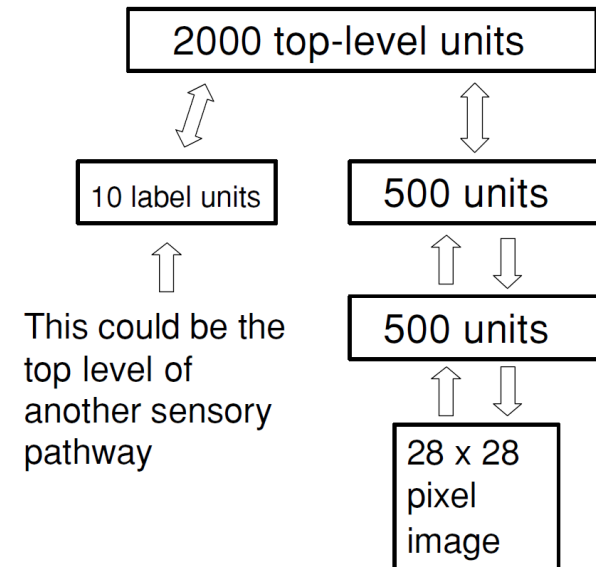
$$\mathbb{E}_{v \sim p_{\text{data}}} \mathbb{E}_{h^{(1)} \sim p^{(1)}(h^{(1)} | v)} \log p^{(2)}(h^{(1)})$$

- 充分训练第二个 RBM 后，将第二个 RBM 堆叠在第一个 RBM 的上方
- 重复以上三个步骤任意多次

深度信念网络 (DBN)

■ 训练过程

- 如果训练数据有标签，那么在顶层的 RBM 训练时，这个 RBM 的显层中除了显性神经元，还需要有代表分类标签的神经元，一起进行训练



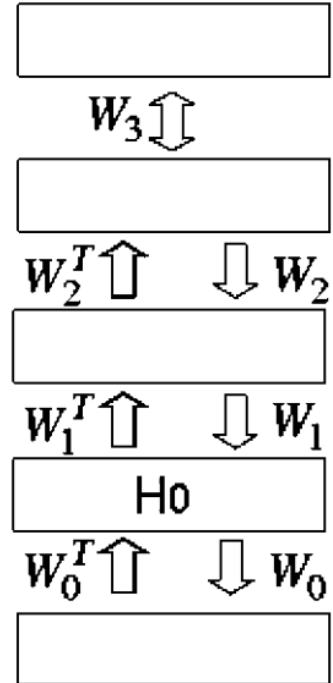
<http://blog.csdn.net/a819825294>



深度信念网络 (DBN)

■ 调优过程: Contrastive Wake-Sleep 算法

- 除了顶层RBM，其他层RBM的权重被分成向上的**认知权重**和向下的**生成权重**；
- Wake阶段: **认知过程**, 通过外界的特征和向上的权重产生每一层的抽象表示 (结点状态), 并且使用梯度下降修改层间的下行权重 (**生成权重**)；
- Sleep阶段: **生成过程**, 通过顶层表示 (醒时学得的概念) 和向下权重, 生成底层的状态, 同时修改层间向上的权重。





目录

- 马尔可夫链蒙特卡罗法 (MCMC)
- 能量模型
- 受限玻尔兹曼机 (RBM)
- 深度信念网络 (DBN)
- 深度玻尔兹曼机 (DBM)



深度玻尔兹曼机（DBM）

- 是具有若干隐变量层的生成模型

- 可见单元：二值
 - 隐变量：二值
 - 完全无向图

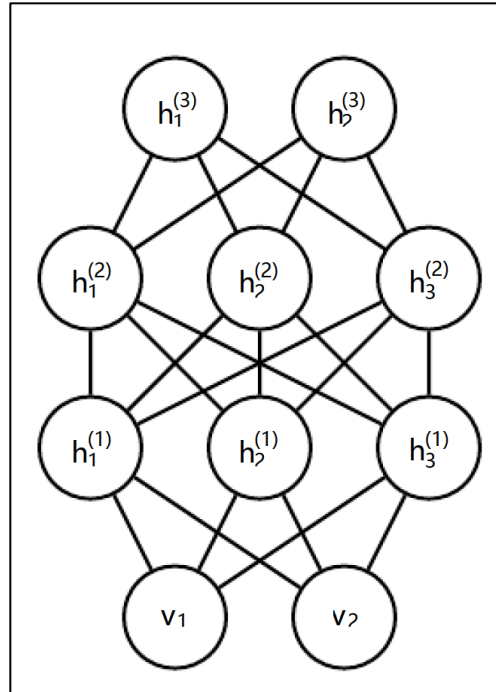
- 能量模型

- 为简化表示，省略了偏置参数

$$E(v, h^{(1)}, h^{(2)}, h^{(3)}; \theta) = -v^\top W^{(1)} h^{(1)} - h^{(1)\top} W^{(2)} h^{(2)} - h^{(2)\top} W^{(3)} h^{(3)}$$

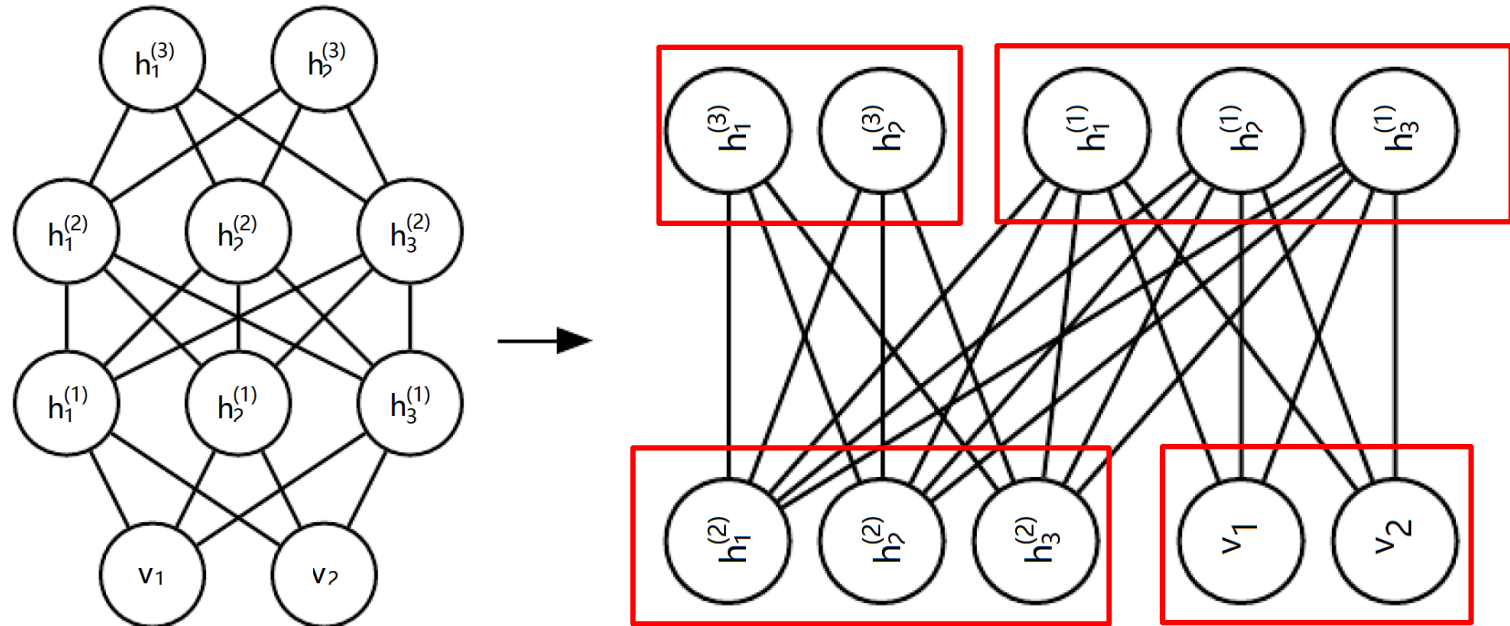
- 联合概率分布

$$P(v, h^{(1)}, h^{(2)}, h^{(3)}) = \frac{1}{Z(\theta)} \exp(-E(v, h^{(1)}, h^{(2)}, h^{(3)}; \theta))$$



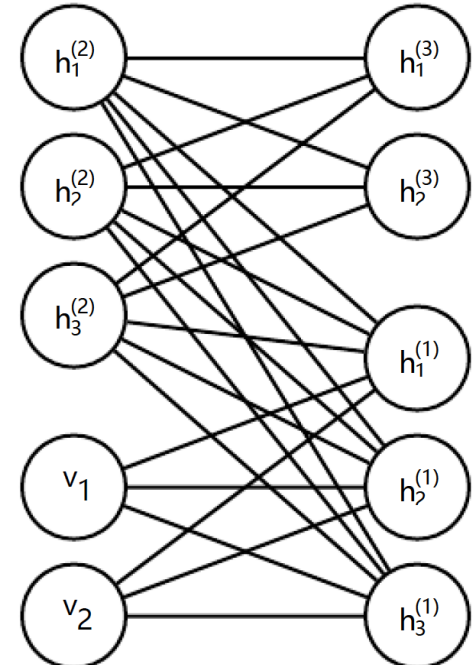
深度玻尔兹曼机（DBM）

- DBM的层可以组织成一个二分图，其中奇数层在一侧，偶数层在另一侧



深度玻尔兹曼机（DBM）

- 具有 l 个隐藏层的DBM只需要**2步**更新
 - 给定偶数层，关于奇数层的分布是因子的，因此可以作为块同时且独立地采样
 - 给定奇数层，可以同时且独立地将偶数层作为块进行采样





深度玻尔兹曼机（DBM）

■ 训练方法

- 2009年，提出了深度玻尔兹曼机的思想，并提出逐层预训练法的学习算法
- 2010年，提出了耦合自适应模拟回火方法
- 2012年，提出了一种变分思想，通过学习使真实后验分布和平均场变分推断假定因子分布接近，来估计依赖数据的期望值

Salakhutdinov, R., Hinton, G.E . Deep boltzmann machines. Artificial Intelligence and Statistics (pp. 448-455).

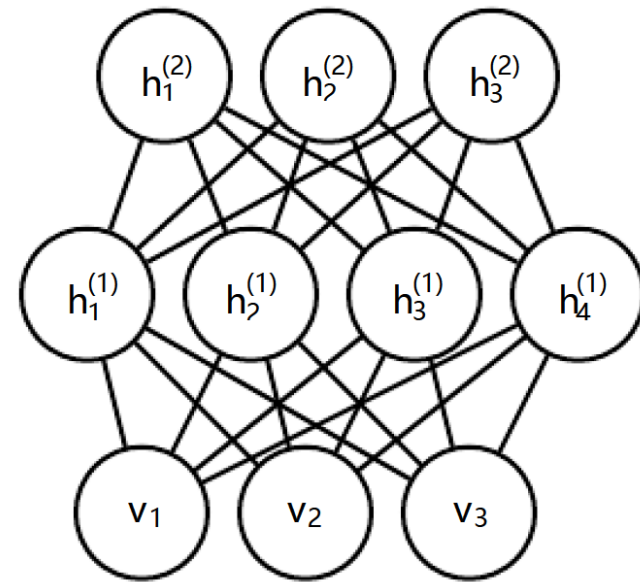
Salakhutdinov, R. Learning deep Boltzmann machines using adaptive MCMC. ICML 2010

Salakhutdinov, R., Hinton, G. E. An efficient learning procedure for deep Boltzmann machines. Neural Computation.24(8)

深度玻尔兹曼机（DBM）

- 难点： $P(h^{(1)}, h^{(2)} | v)$ 不是因子结构的
 - 给定可见层 v 后，隐层之间依然是相互依赖的

$$P(h^{(1)}, h^{(2)} | v) = P(h^{(1)} | h^{(2)}, v)P(h^{(2)} | v)$$





深度玻尔兹曼机 (DBM)

■ 平均场推断：以两个隐藏层为例

- 令 $Q(h^{(1)}, h^{(2)} | v)$ 是 $P(h^{(1)}, h^{(2)} | v)$ 的近似

$$Q(\mathbf{h}^{(1)}, \mathbf{h}^{(2)} | \mathbf{v}) = \prod_j Q(h_j^{(1)} | \mathbf{v}) \prod_k Q(h_k^{(2)} | \mathbf{v})$$

■ 后验分布

$$\begin{aligned} Q(\mathbf{h}^{(1)}, \mathbf{h}^{(2)} | \mathbf{v}) &= \prod_j Q(h_j^{(1)} | \mathbf{v}) \prod_k Q(h_k^{(2)} | \mathbf{v}) \\ &= \prod_j (\hat{h}_j^{(1)})^{h_j^{(1)}} (1 - \hat{h}_j^{(1)})^{(1-h_j^{(1)})} \times \prod_k (\hat{h}_k^{(2)})^{h_k^{(2)}} (1 - \hat{h}_k^{(2)})^{(1-h_k^{(2)})} \end{aligned}$$

$$\hat{h}_j^{(1)} = Q(h_j^{(1)} = 1 | \mathbf{v}) \quad \hat{h}_k^{(2)} = Q(h_k^{(2)} = 1 | \mathbf{v})$$



深度玻尔兹曼机（DBM）

- 平均场推断：以两个隐藏层为例
 - 最小化Q和P之间的距离

$$\text{KL}(Q\|P) = \sum_h Q(\mathbf{h}^{(1)}, \mathbf{h}^{(2)} | \mathbf{v}) \log \left(\frac{Q(\mathbf{h}^{(1)}, \mathbf{h}^{(2)} | \mathbf{v})}{P(\mathbf{h}^{(1)}, \mathbf{h}^{(2)} | \mathbf{v})} \right)$$



$$\begin{aligned}\hat{h}_j^{(1)} &= \sigma \left(\sum_i v_i W_{i,j}^{(1)} + \sum_k W_{j,k}^{(2)} \hat{h}_k^{(2)} \right), \quad \forall j, \\ \hat{h}_k^{(2)} &= \sigma \left(\sum_j W_{j,k}^{(2)} \hat{h}_j^{(1)} \right), \quad \forall k.\end{aligned}$$



深度玻尔兹曼机（DBM）

- 平均场推断：以两个隐藏层为例
 - 参数学习：变分推断
 - 最大化证据下界ELBO

$$\mathcal{L}(Q, \theta) = \sum_i \sum_j v_i W_{i,j}^{(1)} \hat{h}_j^{(1)} + \sum_j \sum_k \hat{h}_j^{(1)} W_{j,k}^{(2)} \hat{h}_k^{(2)} - \log Z(\theta) + \mathcal{H}(Q)$$



深度玻尔兹曼机 (DBM)

■ 算法伪代码

Algorithm 20.1 The variational stochastic maximum likelihood algorithm for training a DBM with two hidden layers

Set ϵ , the step size, to a small positive number

Set k , the number of Gibbs steps, high enough to allow a Markov chain of $p(\mathbf{v}, \mathbf{h}^{(1)}, \mathbf{h}^{(2)}; \boldsymbol{\theta} + \epsilon \Delta \boldsymbol{\theta})$ to burn in, starting from samples from $p(\mathbf{v}, \mathbf{h}^{(1)}, \mathbf{h}^{(2)}; \boldsymbol{\theta})$.

Initialize three matrices, $\tilde{\mathbf{V}}$, $\tilde{\mathbf{H}}^{(1)}$, and $\tilde{\mathbf{H}}^{(2)}$ each with m rows set to random values (e.g., from Bernoulli distributions, possibly with marginals matched to the model's marginals).

while not converged (learning loop) **do**

 Sample a minibatch of m examples from the training data and arrange them as the rows of a design matrix \mathbf{V} .

 Initialize matrices $\hat{\mathbf{H}}^{(1)}$ and $\hat{\mathbf{H}}^{(2)}$, possibly to the model's marginals.

while not converged (mean field inference loop) **do**

$$\hat{\mathbf{H}}^{(1)} \leftarrow \sigma(\mathbf{V}\mathbf{W}^{(1)} + \hat{\mathbf{H}}^{(2)}\mathbf{W}^{(2)\top}).$$

$$\hat{\mathbf{H}}^{(2)} \leftarrow \sigma(\hat{\mathbf{H}}^{(1)}\mathbf{W}^{(2)}).$$

end while

$$\Delta_{\mathbf{W}^{(1)}} \leftarrow \frac{1}{m} \mathbf{V}^\top \hat{\mathbf{H}}^{(1)}$$

$$\Delta_{\mathbf{W}^{(2)}} \leftarrow \frac{1}{m} \hat{\mathbf{H}}^{(1)\top} \hat{\mathbf{H}}^{(2)}$$

for $l = 1$ to k (Gibbs sampling) **do**

 Gibbs block 1:

$$\forall i, j, \tilde{V}_{i,j} \text{ sampled from } P(\tilde{V}_{i,j} = 1) = \sigma \left(\mathbf{W}_{j,:}^\top (\hat{\mathbf{H}}_{i,:}^{(1)})^\top \right).$$

$$\forall i, j, \tilde{H}_{i,j}^{(2)} \text{ sampled from } P(\tilde{H}_{i,j}^{(2)} = 1) = \sigma \left(\hat{\mathbf{H}}_{i,:}^{(1)} \mathbf{W}_{:,j}^{(2)} \right).$$

 Gibbs block 2:

$$\forall i, j, \tilde{H}_{i,j}^{(1)} \text{ sampled from } P(\tilde{H}_{i,j}^{(1)} = 1) = \sigma \left(\tilde{V}_{i,:} \mathbf{W}_{:,j}^{(1)} + \hat{\mathbf{H}}_{i,:}^{(2)} \mathbf{W}_{j,:}^{(2)\top} \right).$$

end for

$$\Delta_{\mathbf{W}^{(1)}} \leftarrow \Delta_{\mathbf{W}^{(1)}} - \frac{1}{m} \mathbf{V}^\top \tilde{\mathbf{H}}^{(1)}$$

$$\Delta_{\mathbf{W}^{(2)}} \leftarrow \Delta_{\mathbf{W}^{(2)}} - \frac{1}{m} \tilde{\mathbf{H}}^{(1)\top} \tilde{\mathbf{H}}^{(2)}$$

$\mathbf{W}^{(1)} \leftarrow \mathbf{W}^{(1)} + \epsilon \Delta_{\mathbf{W}^{(1)}}$ (this is a cartoon illustration, in practice use a more effective algorithm, such as momentum with a decaying learning rate)

$$\mathbf{W}^{(2)} \leftarrow \mathbf{W}^{(2)} + \epsilon \Delta_{\mathbf{W}^{(2)}}$$

end while

Thanks!



Questions?